

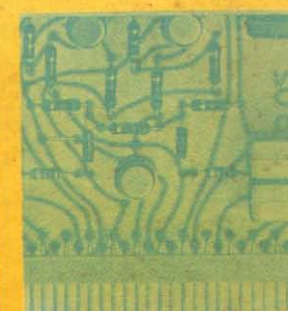
# TEHNİUM

CONSTRUCȚII PENTRU AMATORI • PUBLICAȚIE LUNARĂ EDITATĂ DE REVISTA „ȘTIINȚĂ ȘI TEHNICĂ”



PAGINI SPECIALE:

... - CQ-YO



**MINI**

# AUTOMATIZARI

## DETECTOR DE METALE

Ing. C. POPESCU

În multe dintre scrisorile trimise de cititorii noștri am fost rugați să prezintăm construcții de detectore de metale. Dar, în definitiv, la ce este util un detector de metal? Cel mai adesea această problemă se pune în interiorul locuinței noastre pentru cauză cind dorim să batem un cui și nu știm dacă în perete se află un circuit electric, o șevă de gaz sau o șevă de apă, care ar putea să fie deteriorată. Rezultă deci că un astfel de montaj este util electricienilor, instalatorilor de apă și gaze, tapiterilor etc., în munca lor în mod permanent. El aduce uneori și multă economie de timp cind căutăm o conductă sau un circuit în perete. Admiterea plină la care se pot detecta metalele este de pînă la 10 cm.

Dar să treacem să analizăm aparatul a cărei schemă este dată în fig. 1. Așa cum se vede, se pleacă de la două oscilatoare LC realizate cu tranzistoarele  $T_1$  și  $T_2$ . Dintre cele două oscilatoare, oscilatorul cu tranzistorul  $T_1$  este de frecvență variabilă, iar oscilatorul cu tranzistorul  $T_2$  este de frecvență constantă. De ce oscilatorul cu tranzistorul  $T_1$  este de frecvență variabilă? Pentru că acest oscilator este practic detectorul de metale, căcă bobina  $L_1$  se află în apropierea metalului cind căutăm. Cind această bobină se află în imediata vecinătate a unui metal, prin inducție se modifică valoarea bobinei  $L_1$ , deci frecvența lui se modifică. Așa cum se vede din figura 2, bobinele  $L_1$  și  $L_2$  se aşază la distanță

cît mai mare însă de alta pe sasiul montajului și în același timp și poziția lor este astfel aleasă încît  $L_2$  să fie cît mai departe de metalul căutat; totodată, poziția celor două bobine este aleasă încît ele nu se influențeze una pe alta. Cele două oscilatoare de tip Colpitts au aceeași frecvență atunci cind în vecinătatea lui  $L_1$  nu se află nici un obiect metalic. Semnalurile de la cele două oscilatoare se aplică unui amplitudinător de frecvență cu tranzistoarele  $T_3$  și  $T_4$ , care sădouă repetătoare pe emitor cu sarcină comună. Deoarece semnalele au aceeași frecvență, la ieșirea mixerului nu se obține nici un semnal. Dacă în apropiere de  $L_1$  se află un obiect metalic, frecvența oscilatorului I se schimbă puțin și în mixer apar flăcărări de interferență. Frecvența bătăilor depinde de dimensiunea obiectului metalic, ca și de distanța la care se află. Cu cît obiectul are dimensiuni mai mari și distanța pîna la el este mai mică cu atît frecvența bătăilor este mai mare. Aceste bătăi sunt aplicate unui etaj de amplificare cu o perioadă de căsăi de 2000Q montate în colector, ceea ce permite ușor celui ce lucrează cu aparatul să detecteze metalul căutat. Întrigă montajul se poate realiza pe o placă de circuit imprimat cu dimensiuni convenabile cutiei de material plastic pe care o avem și în care introducem montajul. Împreună cu montajul se află și sursa de energie

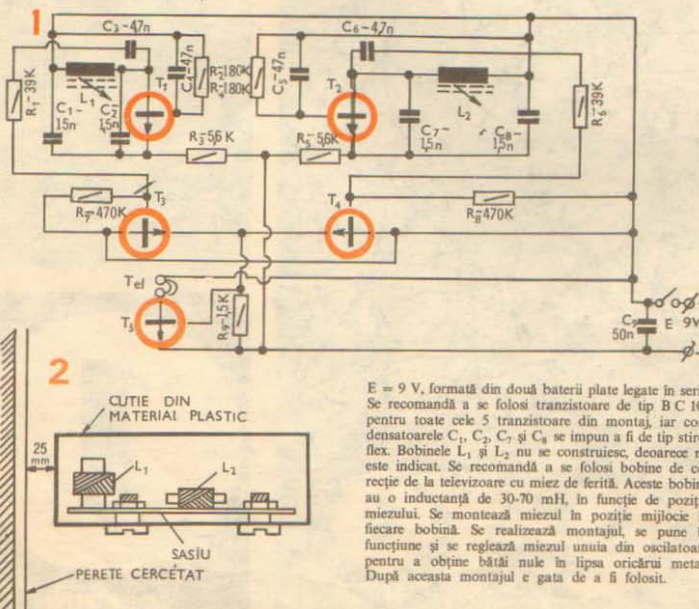
# AVERTIZOR DE FURTUNĂ

N. PORUMBARU

Aparatul electronic pe care îl descriem mai jos avertizează cu 2-3 ore înainte apropierea unei furtuni sau ploile torrentiale.

Avertizorul este deosebit de util, în special în timpul nopții. Principiul se bazează pe fenomenul deschărărilor de electricitate statică, care preced furtunile sau ploile torrentiale. Experiențele clasice au demonstrat posibilitatea detectării la distanță a acestor deschărări. Folosind experiențe mai recente, s-a constatat că aceste deschărări au componente cu nivel maxim în gama de frecvențe cuprinsă între 100 kHz și 1 MHz.

Acestă gamă intră în unde lungi și medii ale receptorilor de radio folosite în mod curent. Din acest motiv, ca element sesizor se va folosi un aparat de radio existent, cu tuburi sau tranzistoare. Pot fi folosite în acest scop cu succes și aparatelor cu tranzistoare de buzunar sau portabile. Întrucât aparatelor moderne sunt prevăzute cu un reglaj automat al amplificării (RAA) de care depinde sensibilitatea aparatului, aparatul de radio se va regla pe o frecvență pe care nu este nici un post de emisie, în acest caz, sensibilitatea aparatului fiind la valoarea maximă (cu



$E = 9\text{ V}$ , formată din două baterii plate legate în serie. Se recomandă să folosiți tranzistoare de tip BC108 pentru toate cele 5 tranzistoare din montaj, iar condensatoarele  $C_1$ ,  $C_2$ ,  $C_3$  și  $C_4$  se impună a fi de tip stiroflex. Bobinele  $L_1$  și  $L_2$  nu se construiesc, deoarece nu este indicat. Se recomandă să se folosi bobine de colecție de la televizoare cu miez de ferită. Aceste bobine au o inducție de 30-70 mH, în funcție de poziția miezelui. Se montează miezel în poziție mijlocie la fiecare bobină. Se realizează montajul, se pun în funcțiune și se reglează miezel unuia din oscilatoare pentru a obține bătăi nule în lipsa oricărui metal. După aceasta montajul e gata de a fi folosit.

# REGULATOR DE TEMPERATURA

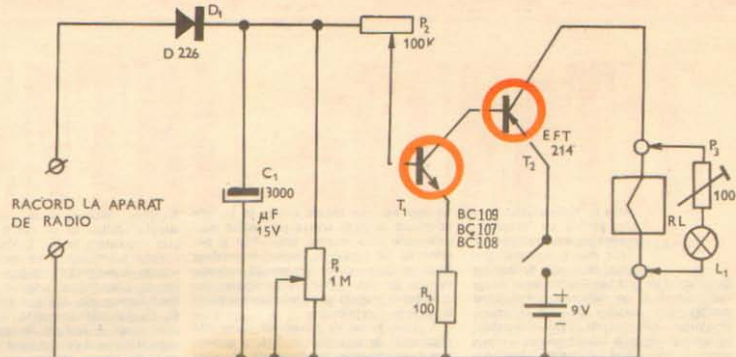
Toți fotoamatorii știu ce însemnată este temperatura unei soluții pentru a obține fotografii de calitate bună. Această cerință devine și mai importantă atunci cind lucrăm la fotografii color. Pentru a rezolva această problemă deosebit de importantă se poate folosi un regulator electronic automat al temperaturii soluțiilor, regulator ce menține temperatura constantă cu o precizie mai bună de  $\pm 1^\circ\text{C}$ . Acest regulator a fost realizat de către autor și încercat într-o perioadă de timp, dind rezultate foarte bune. Alăturat prezentăm în fig. 1 montajul folosit.

Pentru a înțelege cum funcționează, să plecăm de la elementul detector de temperatură. Acest element este un termistor  $R_1$  de  $100\text{ k}\Omega$  și se află în circuitul de polarizare al tranzistorului amplificator  $T_1$ . La temperatură corectă de lucru polarizarea tranzistorului  $T_1$  este astfel aleasă, încît tensiunea emitor-colectorului să determine ca tranzistorul  $T_2$  din trigerul Schmitt (format din  $T_2 - T_3$ ) să fie blocat. În consecință, tranzistorul  $T_3$  este deschis și releul  $R_g$  din colectorul lui  $T_3$  este acționat. Acest releu are două rinduri

potențiometrul volum-control la maxim). Aparate care au gama de unde lungi se vor comuta pe această gamă, iar la cele de buzunar, care de obicei au numai gama de unde medii, condensatorul variabil se reglează în poziția închis, respectiv spre partea de 530 kHz. Adaptorul de avertizare prezentat în fig. 1 se cuplăză la aparatul de radio la bușa prevăzută pentru difuzor exterior, respectiv în paralel cu casca de recepție la aparatul de buzunar sau portabile. La nevoie, casca se poate înlocui cu o rezistență corespunzătoare, pentru a nu lăsa fără sarcină ieșirea etajului final. Analizând schema din fig. 1, se vede că tensiunea alternativă obținută la ieșirea aparatului de radio este redresată de dioda  $D_1$  și încărcă succesiv condensatorul  $C_1$  de 3 000 MF. Cind tensiunea ajunge la o anumită valoare, amplificatorul în curent continuu, format din tranzistoarele  $T_1$  și  $T_2$ , intră în stare de conducție, crește curentul de colector de la  $T_2$  și releeul  $RL$  este acționat. Contactele releeului pun în funcție avertizarea sonoră și luminosă. De remarcat că valoarea lui  $C_1$  trebuie respectată din motivele funcționale. Pentru a urmări mai bine efectul reglațiilor, în locul releeului se poate monta un becul de scală ( $L_1$ ) în serie cu un potențiometru semireglabil de 100  $\Omega$ . Se reglează acest potențiometru astfel ca becul să lumineze în mod corespunzător. Cu ajutorul potențiometrului  $P_1$  se reglează amplificarea, respectiv curentul de colector al lui  $T_2$ .

Potențiometrul  $P_1$  este prevăzut pentru deschidere condensatorului  $C_1$ , respectiv reglarea sensibilității, la un număr de impulsuri cauzate de deschărările atmosferice pentru declanșarea alarmei.

Astfel se pot stabili intensitatea și aproximativ distanța la care se găsește furtuna. Dacă potențiometrul este reglat la valoarea minimă, becul de control se aprinde după cîteva deschărări și apoi se stinge. La deschărări repetate, care se succed într-un interval mai scurt, becul va arde în permanență. Potențiometrul  $P_1$  trebuie reglat astfel ca becul să nu se aprindă decât după un anumit număr de impulsuri caracteris-



tice unei furtuni și să rămână aprins dacă impulsurile persistă. O soluție ideală este racordarea a două adaptore (conform fig. 1) identice la ieșirea aparatului de radio, reglate la sensibilități diferite. Astfel, adaptorul nr. 1 este reglat la o sensibilitate mai mare și cu semnal de avertizare luminosă, iar adaptorul nr. 2, mai puțin sensibil, cu semnal luminos și sonor. În acest caz, semnalul luminos de la adaptorul nr. 1 indică existența unor deschărări la o distanță de 100-120 km, ceea ce înseamnă în mod normal 2-3 ore de răgaz. Dacă se constată că viteza de apropiere este mai mare (frecvență și intensitatea impulsurilor cresc vertiginos), nu putem aștepta o vîjelie cu o viteză de peste 100 km pe oră.

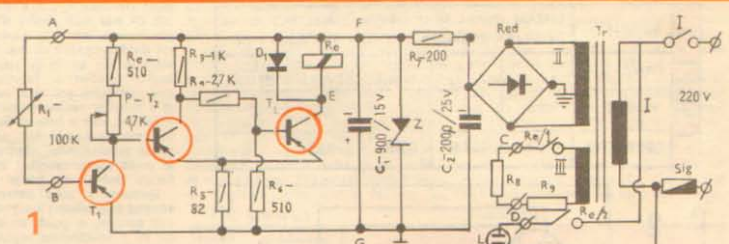
Adaptorul nr. 2 se reglează astfel ca avertizarea sonoră să se declanșeze cind furtuna se găsește la o distanță care se parcurge în mod normal în 15-30 minute (aproximativ 25 km). Sistemul cu două adaptore previne alarme false, intrucăt furtuna ar putea să se îndrepte în altă direcție fără a cauza daune.

De remarcat că aparatul nu trebuie montat în locuri unde ar putea să fie paraziți industriali,

cauzări de aparate electrice sau electronice nedeparțate sau defecte. Efectul paraziților industriali fiind similar cu cel al deșcărărilor electrostatic, se declanșază o alarmă falsă. Acest fenomen poate fi evitat prin verificarea funcțională și veghearea aproximativă a adaptoarelor, pentru a putea face ultimele retușuri la o furtună reală.

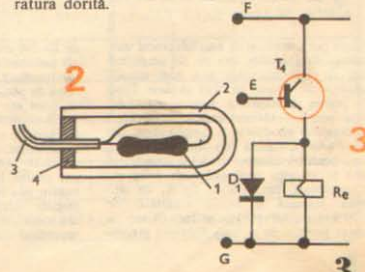
La executarea adaptorului, se va avea grijă să se facă un montaj îngrijit și rigid. Tranzistorul  $T_2$  poate avea și o putere mai mică, însă neapărat trebuie să fie în concordanță cu puterea cerută de relee, respectiv becului folosit. Alimentarea aparatului de radio și a releei se va face de la baterii (de capacitate suficientă de funcționare neîntreruptă), pentru evitarea captării unor paraziți prietenoși.

Montarea unei antene suplimentare de 2-3 metri mărește rază de sensibilitate, iar după depistare, folosind directivitatea antenei de ferită, se poate determina aproximativ din ce parte vine furtuna.



de contacte, care sunt inchise în poziția de repaos; deci în situația de mai sus (cind releeul  $RL$  este acționat) contactele sunt desfațuite. Să presupunem că temperatura scade cu  $1^{\circ}\text{C}$ , ceea ce determină mărirea rezistenței  $R_1$ . În acest caz, curentul de colector al tranzistorului  $T_1$  scade, tensiunea colector-emitor în valoare absolută crește și deci tranzistorul  $T_2$  se deschide, iar tranzistorul  $T_3$  se taie. În această situație, releeul  $RL$  nu este acționat și contactele sunt inchise. Contactele releeului  $RL$  comandă sistemul de încălzire, care este alimentat, așa cum se constată, de la o înălțătură secundară a transformatorului de rețea  $T_r$ . După această scură prezentare a montajului, să arătăm elementele caracteristice ale construcției. Vom începe intiu cu elementul de comandă, adică cu termistorul  $R_1$  (1). Acesta este un termistor de  $100\text{ k}\Omega$  și are forma unei rezistențe chimice. El se introduce într-un mic tub de sticlă, de exemplu, partea de jos a unei epruvete (2 din fig. 2). Capătul liber al tubului se închide cu epoxid (4), asigurând în acest fel izolare termistorului de soluție. Înainte de inchiderea acestui cap al epruvetei, se face legătura termistorului cu un cablu de legătură bifilar izolat în PVC (3), cu care se merge la bornele A, B ale regulatorului propriu-zis. Aceste două borne sunt practic două bușuri radio. Înregul montaj se poate realiza pe o placă de circuit imprimat cu dimensiunea de  $15 \times 8\text{ cm}$ . Tranzistorul  $T_1$ , care are rolul de amplificator, este un tranzistor obținut de tip EFT 352, M 39-41, P 16A, OC 71, AC 151 etc. Celelalte două tranzistoare  $T_2$  -  $T_3$ , care fac parte din tragerul Schmitt, sunt de tip EFT 323, MP 26, P 16A, OC 72, AC 128, AC 152 etc. În colectorul tranzistorului  $T_3$  se află releeul  $RL$  cu două rînduri de contacte. Am folosit un relee cu rezistență înălțătură de  $400\Omega$ . În caz că înălțătura releeului are

ce lucrează la tensiunea de  $220\text{ V}$ , atunci nu mai e nevoie de  $R_2$ . Rezistența  $R_3$  este conectată de către releeul  $RL$  atunci cind el nu este acționat și la fel și tubul cu neon L de  $220\text{ V}$ , care arată că sistemul este în funcțiune. În timpul funcționării este indicat ca tubulețul cu termistorul  $R_1$  și rezistența de încălzire  $R_8$  să fie așezate în suflare la distanță cît mai mare unul de altul. Nilivelul de temperatură la care trebuie să lucreze sistemul se stabilește folosind un termometru și se reglează potențiometrul  $P$  pentru temperatură dorită.



# CONSTRUCȚIA HOMĂRULUI

ADAPE

**P**entru un radioamator, mai ales pentru un începător, realizarea unui receptor de trafic este o operare grea, de aceea prezentăm în articolul de față construcția unor adaptatoare simple la un radioreceptor destinat recepționării gamelor de radiodifuziune obisnuite. Adaptatoarele fiind destăbile, receptorul poate fi folosit pentru ambele scopuri, ansamblul asigurând satisfacție deplină radioamatorului sportiv.

Adaptatoarele pentru receptia benzilor de amatori se clasifică în general în două grupe, considerind după felul părții din radioreceptor cu care se cuplă. Din prima grupă fac parte detectoarele (de obicei cu reacție) la legătură cărora se obține direct semnalul de audiofrecvență care se introduce la bornele de picup ale radioreceptoarelor. Deoarece din radioreceptor nu este folosită decât partea de amplificare de audiofrecvență, aceste adap-

tăt mai puțin este folosit numai în benzile inferioare de unde scurte, prezintând dezavantajele unei recepții insensibile și neselective. De asemenea, oscilațiile produse în curențul de reacție deranjează receptia pe alte apărate aflate în apropiere, iar receptorul propriu prezentindu-se instabil în benzile receptiunii.

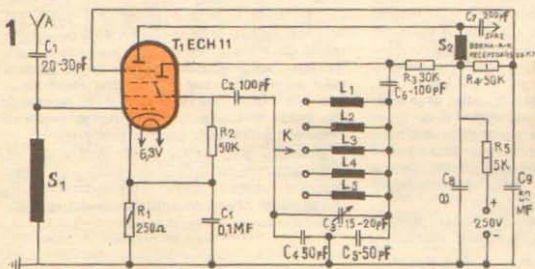
A doua grupă de adaptatoare, care este prezentată în articolul de față, o constituie convertoarele de frecvență. Acestea sint un etaj obisnuit, convertor de frecvență, folosind la toate radioreceptoarele tip superheterodină, la care frecvența intermedieră ce rezultă prin suma algebraică între frecvența receptiunii și frecvența oscillatorului local este aleasă astfel încât să fie cuprinsă în limitele benzilor de radiodifuziune. Această frecvență intermedie trebuie introdusă printre un cablu ecranat (de obicei, o bucată de cablu de coboare folosit la antenele de televiziune RK1 cu impedanță caracteristică de 75 Ω, lungă

receptor. Schema unui adaptor foarte simplu, realizat cu un tub triodă hexodă, este prezentată în fig. 1. Partea triodă a tubului funcționează ca oscillator în trei puncte montaj Colpitts (ca reacție capacitive). Circuitul acordat al oscillatorului fiind format dintr-un din bobinile  $L_1-L_5$ ,  $C_4$ ,  $C_5$  și condensatorul variabil cu aer  $C_3$ , care poate fi realizat fie prin reducerea capacitatii unui condensator variabil obisnuit de la un radioreceptor vechi, fie dintr-un trimer ceramic căruia i se adaugă un condensator fix de 220 pF, tubul utilizat fiind același ca și primul convertor.

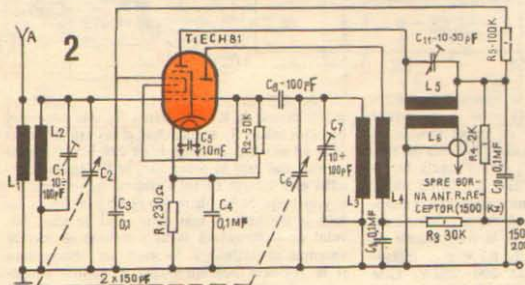
Circuitele de intrare și de ieșire fiind necarcădate, simplifică mult montajul. Bobinele cu o singură infășurare, fără prize intermediere, pot fi realizate conform indicatiilor din tabelul nr. 1. Comutarea benzilor se poate face cu un comutator simplu  $1 \times 5$  poziții sau cu bobine schimbătoare, montându-le pe culotul de la lămpă veche de la care se vor utiliza doar două contacte.

Drosoiele de înalță frecvență  $S_1$  și  $S_2$  pot fi formate din cîte o infășurare de la un transformator de frecvență intermedie vechi (fig. 12) sau se pot realiza bobinări pe o carcasa cu miez de ferocart și diametru exterior de 10–12 mm cu 100 spire conductor de cupru emaită și cu un strat de mătase de 0,2 mm. Lungimea bobinajului: 20–25 mm. Tubul convertor poate fi orice triodă hexodă, cu condiția să fie alimentat corespunzător, sau o octodă (EK2, 6A8 etc.), conectată în paralel cu grila triodei oscillator, grilele 2+4 drept anodul oscillatorului. (Rezistența  $R_4$  și condensatorul  $C_6$  se suprimă din schema în acest caz.)

Converterul se va realiza pe un sasie de tablă de aluminiu grosă de 1,5–2 mm, pe care se vermontă socul tubului și bobina (eventual, socul bobinilor schimbătoare), restul pieselor se vor monta sub săsus. Drosioile  $S_1$  și  $S_2$  și bine să fie distanțate cît mai mult posibil și cu axe perpendiculare între ele. Converterul realizat după indicațiile de mai sus nu se pretează la nici un fel de reglaj sau acord, întrînd imediat în funcție. Amatorii mai pretinși pot regla limita superioară a benzilor variind numărul de spire al bobinelor, care e bine să fie lăsat în acest scop mai mult cu 10–15% decit este prevăzut în tablă. Limita inferioară a benzilor se poate ajusta montând în derivărie pe fiecare bobină un trimer de 5–10 pF. Deoarece la acest convertor etajul de amestec (modulator) funcționează fără circuit acordat, se poate realiza un convertor cu o selectivitate superioară, a cărui schema este prezentată în fig. 2. Oscila-



TABEL 1	CARCASE DE PVC DE LA INSTALAȚII ELECTRICE 15 mm LUNGIMEA BOBINAJULUI PENTRU TOATE GAMELE 24 mm				
	L <sub>1</sub> 3.5MHz	L <sub>2</sub> 7MHz	L <sub>3</sub> 14MHz	L <sub>4</sub> 21MHz	L <sub>5</sub> 28MHz
Nr SPIRE	33	28	11	6	5
CONDUCTOR	0,1EM	0,2EM	0,3E	0,5E	0,5E



toare pot fi cuplate cu amplificatorul unui picup, magnetofon, sau cu alt amplificator de audiofrecvență sau, mai simplu, audiuia făcându-se în casă cuplate direct la ieșirea detectorului. Reacția este folosită pentru întărirea audierii la receptia semnalelor modulate în amplitudine, cind este menținută sub limita de acrosaj sau pentru realizarea bătrânilor (interferenței) la receptia semnalelor de telegrafie nemodulată (semisimiluză de tip A, cu lăimea maximă a benzii transmise de 100 kHz), cind receptia se face cu reacția de pe punctul de acrosaj. Sistemul prez-

(de 70–100 cm) la bornele antenă și pămînt ale radioreceptoarelor acordat pe frecvență intermediară aleasă pentru ieșirea adaptatorului. Se obține astfel un receptor de bandă cu două sau chiar trei schimbări de frecvență, sistem foarte selectiv. Deoarece factorul de convecție al adaptatorului este supraunitar, se obține o receptie stabilită și sensibilă. Adaptatorul putând fi construit atât pentru benzile de unde scurte cît și pentru benzile de unde ultrascurte, poate asigura receptia semnalelor nemodulate sau modulate în amplitudine sau frecvență, necesitând doar mici adaptări în radio-

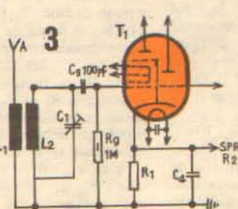
torul acestui montaj este realizat cu reacția prin infășurare L<sub>1</sub> bobinată pe accesiile carcasă cu L<sub>2</sub>. Datele bobinelor pentru recepția celor 5 benzii de unde scurte sunt date în tabelul nr. 2. Blocul de acord poate fi un condensator dublu obisnuit de 2 x 500 pF, inserind fiecare statu cu el un condensator fix de 220 pF, tubul utilizat fiind același ca și primul convertor.

Circuitele de intrare și de ieșire fiind necarcădate, simplifică mult montajul. Bobinile cu o singură infășurare, fără prize intermediere, pot fi realizate conform indicatiilor din tabelul nr. 1. Comutarea benzilor se poate face cu un comutator simplu  $1 \times 5$  poziții sau cu bobine schimbătoare, montându-le pe culotul de la lămpă veche de la care se vor utiliza doar două contacte.

Drosoiele de înalță frecvență  $S_1$  și  $S_2$  pot fi formate din cîte o infășurare de la un transformator de frecvență intermedie vechi (fig. 12) sau se pot realiza bobinări pe o carcasa cu miez de ferocart și diametru exterior de 10–12 mm cu 100 spire conductor de cupru emaită și cu un strat de mătase de 0,2 mm. Lungimea bobinajului: 20–25 mm. Tubul convertor poate fi orice triodă hexodă, cu condiția să fie alimentat corespunzător, sau o octodă (EK2, 6A8 etc.), conectată în paralel cu grila triodei oscillator, grilele 2+4 drept anodul oscillatorului. (Rezistența  $R_4$  și condensatorul  $C_6$  se suprimă din schema în acest caz.)

Converterul se va realiza pe un sasie de tablă de aluminiu grosă de 1,5–2 mm, pe care se vermontă socul tubului și bobina (eventual, socul bobinilor schimbătoare), restul pieselor se vor monta sub săsus. Drosioile  $S_1$  și  $S_2$  și bine să fie distanțate cît mai mult posibil și cu axe perpendiculare între ele. Converterul realizat după indicațiile de mai sus nu se pretează la nici un fel de reglaj sau acord, întrînd imediat în funcție. Amatorii mai pretinși pot regla limita superioară a benzilor variind numărul de spire al bobinelor, care e bine să fie lăsat în acest scop mai mult cu 10–15% decit este prevăzut în tablă. Limita inferioară a benzilor se poate ajusta montând în derivărie pe fiecare bobină un trimer de 5–10 pF. Deoarece la acest convertor etajul de amestec (modulator) funcționează fără circuit acordat, se poate realiza un convertor cu o selectivitate superioară, a cărui schema este prezentată în fig. 2. Oscila-

TABEL 2	BANDA MHz	CONDUS- TOARE	CIRCUITUL DE INTRARE DISTANȚA L <sub>1</sub> L <sub>2</sub> =5mm		CIRCUITUL OSCILATOR DISTANȚA L <sub>3</sub> L <sub>4</sub> =5mm		CIRCUITUL DE IEȘIRE	
			Nr SPIRE	Nr SPIRE	Nr SPIRE	Nr SPIRE	L <sub>5</sub>	L <sub>6</sub>
3,5	0,3E	8	30	20	6		120 SP	35SP
7	0,4E	5	18	12	5		85 SP	25SP
14	0,5E	5	9	6	3		0,5E	
21-28	0,6E	3	5	4	2		DISTANȚA INTRE L <sub>5</sub> și L <sub>6</sub> 8mm	
			BOBINE PE CARCASE DIN TUB PVC CU φ 30 mm					



TABEL 3	BANDA MHz	L <sub>2</sub> N <sub>2</sub> SPIRE	L <sub>1</sub> N <sub>1</sub> SPIRE	CIRCUITUL DE INTRARE	
				L <sub>3</sub> N <sub>3</sub> SPIRE	L <sub>4</sub> N <sub>4</sub> SPIRE
3,5	30	0,1EM	10		
7	30	0,2EM	6		
14	14	0,3E	5		
21	9	0,5E	3		
28	6				

# TOARE PENTRU RECEPȚIE

Ing. I. ZAHARIA

respective din trimerul  $C_1$ . Același circuit de intrare poate fi montat și la adaptorul prezentat în fig. 1, reducându-se astfel intrucția caracteristică de selectivitate. Este bine ca bobinile  $L_{1,2}$  și  $L_{3,4}$  să fie montate distanță unele de altele, eventual despărțite prin un ecran de tablă și cu axele perpendiculare între ele. Pentru îmbunătățirea sensibilității ansamblului format din adaptor și receptor se poate intercala între circuitul de intrare și grila 1 a hexodei un amplificator de radiofreqvență a cărui schema este prezentată în fig. 4. Montajul se poate realiza pe aceeași sasie cu adaptorul, fiind alimentat din

aceeași surse cu acesta. Bobinile  $L_1$  și  $L_2$  ale amplificatorului de radiofreqvență sunt identice cu bobinile de intrare  $L_1$  și  $L_2$  din tabelele nr. 2 și nr. 3. Condensatorul variabil  $C_2$  corespunde bobinelor respective și poate fi separat, fiind acționat pentru întărirea semnalului receptionat de la fiecare stație corespondentă, sau comun cu axul condensatorului de la oscilatorul local. Montajul folosește o dubă triodă cu pantă mare, care poate fi înlocuită cu orice alt tub similar, conectată în montaj cascăd, care asigură o amplificare suficientă (cel puțin 12 dB, adică 2 puncte S) șioricum ceva mai mare decât în etaj

similar realizat cu o pentodă. Deafel, capacitatele mai mici ale triodi asigură un randament mai bun în banda frecvențelor înalte de 21 și 28 MHz, pentru care este bine să se confectioneze bobinile pe carcase din tub PVC de instalări electrice, de preferință de culoare galbenă, care experimentatul dă rezultate mai bune la aceste frecvențe.

Socul de radiofreqvență  $S_1$  poate fi același cu drosele similare din fig. 1, sau se poate realizea bobinind 300 spire conductor de cupru izolat cu emal și măsură de 0,1 mm pe o vergea de 15 mm diametru din material izolant. La nevoie, toate bobinile de soc pot fi înlocuite cu cele de rezistență chimică de 2–15 k $\Omega$ .

Lungimea bobinajului: 15–20 mm. Din potențiometru  $R_2$  se reglează în limite largi amplificarea etajului. Dintre benzile de ultrasonic este folosită mai curent banda de 2 m (144 MHz). Pentru recepția acestei benzini se poate realiza un adaptor simplu cu un tub dublu triodă a cărui schema este prezentată în fig. 5. Utilizarea triodei la acest montaj se datorează faptului că zgâromul propriu al tubului este cu atât mai mic cu cît tubul are mai puține grile. Schema conține un oscilator Hartley (prin zăpuță inductivă), realizat cu trioda din dreapta. Acordul în limitele benzii de 144–146 MHz se realizează varianța frecvență oscillatorului cu condensatorul  $C_3$ , variabil cu aer, și la căruj rotor fiind conectat la masă, reducând influența miliilor operatorului asupra frecvenței de oscilație, asigurând stabilitatea în bandă a adaptorului. Oscilația locală ajunge la grila triodel modulatoră prin variacția  $C_4$ , de numai 2 pF. În anod se culege frecvența intermediară de 10 MHz, care este condusă printr-un cablu RKE lung de 70–100 cm la borna antenă a radioreceptorului acordat pe această frecvență (înălțimea de radiodifuziune de 31 m). Bobinile se vor realiza fără carcăș. Pentru  $L_1$  se vor bobina 3 spire cu diametrul spirii de 10 mm, conductor cupru-emaliat de 1 mm. Lungimea bobinajului: 12 mm. Bobina de antenă  $L_1$  are pentru o intrare nesimetrică de 75  $\Omega$  1 spire conductor de cupru izolat cu polițoare de vinil și 0,8 mm. Diametrul spirii: 10 mm; se monteză între spirele bobinei  $L_2$ .

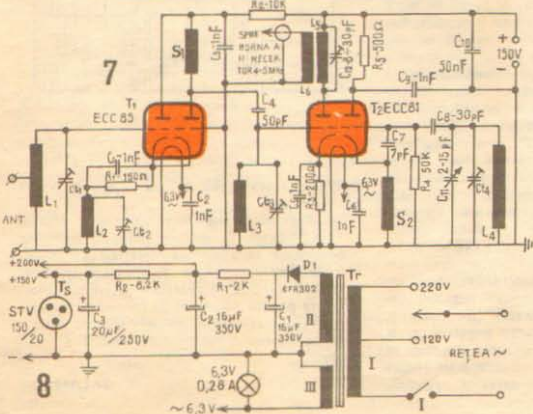
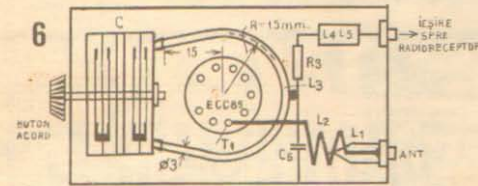
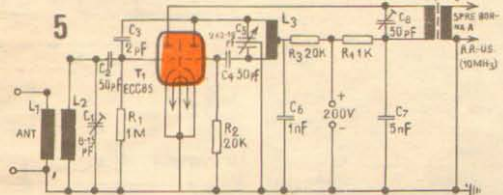
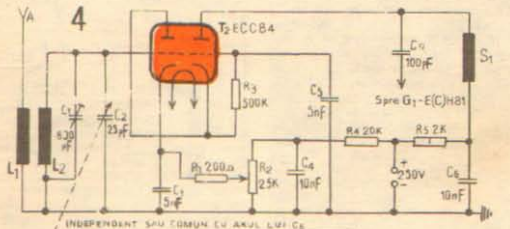
Pentru o intrare simetrică de 300  $\Omega$  (cablu bifilar panglică)  $L_1$  are 2 spire. Restul datelor rămân neschimbate.  $L_2$ —bobina oscilatorului local—are 2/4 diante-șpiră (în formă de U), cu diametrul semicercului de 30 mm, montată direct pe bornele statutorului lui  $C_5$  (fig. 6) și lungimea brațelor dreptă sociote cu diametrul semicercului de 15 mm, conductor de cupru argintat de 3 mm (în nici un caz nu se va folosi conductor coatorit; din lipsă de conductor argintat, conductorul de cupru se va curăța și șlefui pri). Priza de alimentare se va lăsa exact la jumătatea spirii.

Transformatorul de frecvență intermediu se va realiza pe o carcășă cu filet M5. Bobina  $L_4$  conține 15 spire conductor de cupru — E+M și 0,2 mm bobinat spiră lingă spiră, bobina  $L_5$  de cuplaj cu receptorul are 5 spire același conductor, bobinat spiră lingă spiră pe aceeași carcăș la distanță de 2 mm de capătul cald al lui  $L_4$ . Montajul se va executa pe un sasie din tablă de aluminiu de 120 × 120 mm, înălțime de 50 mm. Din centrul sasuisului se montează socul tubului (de preferință din calită). Sub sasus se montează condensatorul variabil  $C_6$  astfel că să se asigure o distanță suficientă între  $L_1$  și socul tubului. Restul montajului se face realizând legături cît mai scurte, evitându-se pe cît posibil paralelismul legăturilor și al asemelor bobinelor din diferitele etaje. În exteriorul tubului și al bobinelor  $L_1$ – $L_5$ , se va monta cete un ecran metalic legat la masă. Tot la masă, printr-un condensator scurt, se va lega și ecraniul interior al tubului (contactul 9).

Funcționarea montajului se verifică inserind la capătul socului masă și rezistență de grila  $R_2$  un microampermetru de curent continuu pe carea de 150–200  $\mu$ A. La o funcționare normală, curentul de grila este cuprinză între 30 și 100  $\mu$ A.

Limitile benzii se regleză cu ajutorul unui grid-dip etalonat prin definirea buclei  $L_2$  sau modificarea lungimii capetei lor (de 15 mm). Scurindu-le, frecvența crește, și invers.

Circuitalul de intrare se reglează pe frecvența centrală a benzii de 145 MHz prin variația pasului bobinei  $L_2$ . Cei ce vor să cuplze adaptorul din fig. 5 la un radio-



TABEL 4

BANDA	28–29,7 MHz				144–146 MHz			
	Nr. SPIRE	Ø BOBINĂ	LUNGIME BOBINAJ	că	Nr. SPIRE	Ø BOBINĂ	LUNGIME BOBINAJ	că
	mm	mm	pF		mm	mm	pF	
<b>L<sub>1</sub></b> PRIZA LA 3 SPIRE DE LA MASĂ								
L <sub>2</sub>	16	12	26	6-30	4	8	12	—
L <sub>3</sub>	10	12	30	10-80	1	8	8	—
L <sub>4</sub>	9	8	18	10-80	1	8	8	6-30
<b>L<sub>5</sub> PE MIEZ FEROCART Ø 10 mm-30 SPIRE CONDUCTOR CU-EM - μ 0,15</b>								
L <sub>6</sub>	LA 5 mm DE L <sub>5</sub> , PE ACEEAȘI CARCĂȘ - 10 SPIRE CONDUCTOR CU-EM 0,15							

# ADAPTOARE PENTRU RECEPTIE

receptor care nu contine banda de unde scurte pot fi intercalate între ieșirea adaptorului din fig. 5 și intrarea radiorecepto- rului, plasat pe poziția de recepție a frecven- tei de 1 600 kHz, un adaptor de unde scurte realizat după schema din fig. 2. Astfel, folosind un condensator variabil dublu de  $2 \times 500 \text{ pF}$ , se poate receptiona gama 16-55 m, întrind cu antena pe grila 1 a hexodelui (bobina  $L_1$ , se exclude) printr-un trimer de 8-15 pF și rezolvând bobinile pe carcasa cu miez de ferocart  $\varnothing 8 \text{ mm}$  după următoarele date:  $L_1 = 14$  spire același conductor,  $L_2 = 5$  spire conductor de cupru email + mătase  $\varnothing 0.2 \text{ mm}$  bobinat pe  $L_3$  pe o manșonă de cedulită. Bobina  $L_2$  este obținută obisnuit de acord pe unde medii, iar  $L_3$  este bobina de antenă corespunzătoare lui  $L_2$ . Ambele pot avea datele prezentate la adaptorul de unde scurte sau pot fi luate de la un radioreceptor vechi, de exemplu de la «Pioneer», «Record SS12 U» etc.

Cei ce vor să realizeze adaptatorul de unde scurte în banda 16-50 m cu bobine pe carcasa  $\varnothing 20 \text{ mm}$  se pot ghida după următoarele date valabile pentru  $C_2$  și  $C_6 = 2 \times 500 \text{ pF}$  (fig. 2).

$L_1 = 4$  spire conductor cupru + E  $\varnothing 0.5$ , lungime bobinajului 5 mm;  $L_2 = 10$  spire conductor de cupru + E  $\varnothing 1 \text{ mm}$ , lungime bobinajului 10 mm, la distanță de 5 mm de  $L_1$ ;  $L_3 = 8.5$  spire conductor de cupru + E  $\varnothing 1 \text{ mm}$ , lungime bobinajului 9 mm;  $L_4 = 3$  spire conductor de cupru-email  $\varnothing 0.5 \text{ mm}$ , lungime bobinajului 5 mm, la distanță de 3 mm de  $L_2$ .

Transformatorul de frecvență intermediară se va realiza pe carcasa  $\varnothing 30 \text{ mm}$  bobinând doar pentru  $L_4$ , un număr de 50 spire conductor de cupru + E + M  $\varnothing 0.3 \text{ mm}$  pe o lungime de 18 mm și plecând spre borna de antenă a radiorecepto- rului acordat pe frecvența de 1 600 kHz prin- tr-o capacitate de 200 pF de la anodul hexodelui (capătul cal al lui  $L_3$ ). Bobina  $L_4$  se suspendă în acest caz.

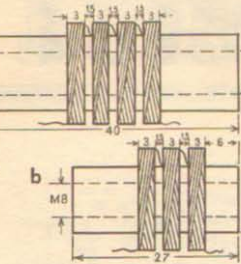
Cu aceste două rinduri de converte- re se obține în ansamblu un receptor cu triplă convexie, sistem caracterizat printr-un înalt grad de stabilitate, o amplifica- re bună și o atenuare bună a frevenției imagine. Un convertor cu o sensibilitate mai mare și stabilitate corespunzătoare este cel prezentat în fig. 7. Montajul, echipat cu un amplificator de înaltă fre- vență, convertește banda de 2 m în gama

de unde scurte (frecvența de 4-5 MHz) afișată pe scara unui radioreceptor obisnuit de radiodifuziune (la sfîrșitul benzi de unde scurte, între 60 și 75 m, se cauță o poziție liniștită, lipsită de posturi perturbatoare). Tubul  $T_{11}$ , montat ca amplifi- cator de înaltă frecvență, are prima triodă în montaj cu anodul de măsă prin  $C_3$ . Semnalul intrat pe grila este condus prin catod la căderea trioda care primește excitarea tot pe catod și este al doilea etaj amplificator de înaltă frecvență cu grila de măsă. Semnalul amplificat se culege la bornele secoului  $S_1$  și este condus spre grila tubului modulator (trioda din sângura triodă  $T_{12}$ ) prin  $C_4$ . Triodă din dreapta a tubului  $T_{12}$  este montată ca oscillator pe frecvență dictată de circuitul acordat format de  $L_4$  și  $C_{11}$  (condensator variabil cu aer cu care se acoperă banda receptio- nării). Cuplajul între oscillatorul local și modulator este realizat prin capacitatea internă a înrăutățirii. Un cuplu mai strâns ar duce la înrăutățirea selectivității. Sistemele din pasul bobinajului pentru capătul inferior al benzi (frecvență mică).

Alimentarea tuturor acestor montajele se poate face dintr-un redresor receptorului la care se adăptă, fără nici un pericol de suprareîncărcare a acestuia, deoarece consumul anodic al unui montaj nu depășește 10 mA (20 mA cu amplificator de înaltă frecvență). Se poate face și dintr-un redresor independent, montat pe casul adaptatorului, conform schemei din fig. 8.

Tubul stabilizator  $T_1$  poate fi exclus elimi- nindu-se odată cu el și  $R_1-C_2$ . Transformatorul de rețea  $T_2$  se poate face pe un miez de roță de ferofluclit cu  $E3 \times 15 \text{ mm}$  și  $24 \text{ mm}$ . Înălțărea  $T_1$  este de 8-12 mm. Înălțarea  $T_2$  este de 10-12 mm. Înălțarea  $T_3$  este de 15-18 mm. Înălțarea  $T_4$  este de 10-12 mm. Înălțarea  $T_5$  este de 10-12 mm. Înălțarea  $T_6$  este de 10-12 mm. Înălțarea  $T_7$  este de 10-12 mm. Înălțarea  $T_8$  este de 10-12 mm. Înălțarea  $T_9$  este de 10-12 mm. Înălțarea  $T_{10}$  este de 10-12 mm. Înălțarea  $T_{11}$  este de 10-12 mm. Înălțarea  $T_{12}$  este de 10-12 mm. Înălțarea  $T_{13}$  este de 10-12 mm. Înălțarea  $T_{14}$  este de 10-12 mm. Înălțarea  $T_{15}$  este de 10-12 mm. Înălțarea  $T_{16}$  este de 10-12 mm. Înălțarea  $T_{17}$  este de 10-12 mm. Înălțarea  $T_{18}$  este de 10-12 mm. Înălțarea  $T_{19}$  este de 10-12 mm. Înălțarea  $T_{20}$  este de 10-12 mm. Înălțarea  $T_{21}$  este de 10-12 mm. Înălțarea  $T_{22}$  este de 10-12 mm. Înălțarea  $T_{23}$  este de 10-12 mm. Înălțarea  $T_{24}$  este de 10-12 mm. Înălțarea  $T_{25}$  este de 10-12 mm. Înălțarea  $T_{26}$  este de 10-12 mm. Înălțarea  $T_{27}$  este de 10-12 mm. Înălțarea  $T_{28}$  este de 10-12 mm. Înălțarea  $T_{29}$  este de 10-12 mm. Înălțarea  $T_{30}$  este de 10-12 mm. Înălțarea  $T_{31}$  este de 10-12 mm. Înălțarea  $T_{32}$  este de 10-12 mm. Înălțarea  $T_{33}$  este de 10-12 mm. Înălțarea  $T_{34}$  este de 10-12 mm. Înălțarea  $T_{35}$  este de 10-12 mm. Înălțarea  $T_{36}$  este de 10-12 mm. Înălțarea  $T_{37}$  este de 10-12 mm. Înălțarea  $T_{38}$  este de 10-12 mm. Înălțarea  $T_{39}$  este de 10-12 mm. Înălțarea  $T_{40}$  este de 10-12 mm. Înălțarea  $T_{41}$  este de 10-12 mm. Înălțarea  $T_{42}$  este de 10-12 mm. Înălțarea  $T_{43}$  este de 10-12 mm. Înălțarea  $T_{44}$  este de 10-12 mm. Înălțarea  $T_{45}$  este de 10-12 mm. Înălțarea  $T_{46}$  este de 10-12 mm. Înălțarea  $T_{47}$  este de 10-12 mm. Înălțarea  $T_{48}$  este de 10-12 mm. Înălțarea  $T_{49}$  este de 10-12 mm. Înălțarea  $T_{50}$  este de 10-12 mm. Înălțarea  $T_{51}$  este de 10-12 mm. Înălțarea  $T_{52}$  este de 10-12 mm. Înălțarea  $T_{53}$  este de 10-12 mm. Înălțarea  $T_{54}$  este de 10-12 mm. Înălțarea  $T_{55}$  este de 10-12 mm. Înălțarea  $T_{56}$  este de 10-12 mm. Înălțarea  $T_{57}$  este de 10-12 mm. Înălțarea  $T_{58}$  este de 10-12 mm. Înălțarea  $T_{59}$  este de 10-12 mm. Înălțarea  $T_{60}$  este de 10-12 mm. Înălțarea  $T_{61}$  este de 10-12 mm. Înălțarea  $T_{62}$  este de 10-12 mm. Înălțarea  $T_{63}$  este de 10-12 mm. Înălțarea  $T_{64}$  este de 10-12 mm. Înălțarea  $T_{65}$  este de 10-12 mm. Înălțarea  $T_{66}$  este de 10-12 mm. Înălțarea  $T_{67}$  este de 10-12 mm. Înălțarea  $T_{68}$  este de 10-12 mm. Înălțarea  $T_{69}$  este de 10-12 mm. Înălțarea  $T_{70}$  este de 10-12 mm. Înălțarea  $T_{71}$  este de 10-12 mm. Înălțarea  $T_{72}$  este de 10-12 mm. Înălțarea  $T_{73}$  este de 10-12 mm. Înălțarea  $T_{74}$  este de 10-12 mm. Înălțarea  $T_{75}$  este de 10-12 mm. Înălțarea  $T_{76}$  este de 10-12 mm. Înălțarea  $T_{77}$  este de 10-12 mm. Înălțarea  $T_{78}$  este de 10-12 mm. Înălțarea  $T_{79}$  este de 10-12 mm. Înălțarea  $T_{80}$  este de 10-12 mm. Înălțarea  $T_{81}$  este de 10-12 mm. Înălțarea  $T_{82}$  este de 10-12 mm. Înălțarea  $T_{83}$  este de 10-12 mm. Înălțarea  $T_{84}$  este de 10-12 mm. Înălțarea  $T_{85}$  este de 10-12 mm. Înălțarea  $T_{86}$  este de 10-12 mm. Înălțarea  $T_{87}$  este de 10-12 mm. Înălțarea  $T_{88}$  este de 10-12 mm. Înălțarea  $T_{89}$  este de 10-12 mm. Înălțarea  $T_{90}$  este de 10-12 mm. Înălțarea  $T_{91}$  este de 10-12 mm. Înălțarea  $T_{92}$  este de 10-12 mm. Înălțarea  $T_{93}$  este de 10-12 mm. Înălțarea  $T_{94}$  este de 10-12 mm. Înălțarea  $T_{95}$  este de 10-12 mm. Înălțarea  $T_{96}$  este de 10-12 mm. Înălțarea  $T_{97}$  este de 10-12 mm. Înălțarea  $T_{98}$  este de 10-12 mm. Înălțarea  $T_{99}$  este de 10-12 mm. Înălțarea  $T_{100}$  este de 10-12 mm. Înălțarea  $T_{101}$  este de 10-12 mm. Înălțarea  $T_{102}$  este de 10-12 mm. Înălțarea  $T_{103}$  este de 10-12 mm. Înălțarea  $T_{104}$  este de 10-12 mm. Înălțarea  $T_{105}$  este de 10-12 mm. Înălțarea  $T_{106}$  este de 10-12 mm. Înălțarea  $T_{107}$  este de 10-12 mm. Înălțarea  $T_{108}$  este de 10-12 mm. Înălțarea  $T_{109}$  este de 10-12 mm. Înălțarea  $T_{110}$  este de 10-12 mm. Înălțarea  $T_{111}$  este de 10-12 mm. Înălțarea  $T_{112}$  este de 10-12 mm. Înălțarea  $T_{113}$  este de 10-12 mm. Înălțarea  $T_{114}$  este de 10-12 mm. Înălțarea  $T_{115}$  este de 10-12 mm. Înălțarea  $T_{116}$  este de 10-12 mm. Înălțarea  $T_{117}$  este de 10-12 mm. Înălțarea  $T_{118}$  este de 10-12 mm. Înălțarea  $T_{119}$  este de 10-12 mm. Înălțarea  $T_{120}$  este de 10-12 mm. Înălțarea  $T_{121}$  este de 10-12 mm. Înălțarea  $T_{122}$  este de 10-12 mm. Înălțarea  $T_{123}$  este de 10-12 mm. Înălțarea  $T_{124}$  este de 10-12 mm. Înălțarea  $T_{125}$  este de 10-12 mm. Înălțarea  $T_{126}$  este de 10-12 mm. Înălțarea  $T_{127}$  este de 10-12 mm. Înălțarea  $T_{128}$  este de 10-12 mm. Înălțarea  $T_{129}$  este de 10-12 mm. Înălțarea  $T_{130}$  este de 10-12 mm. Înălțarea  $T_{131}$  este de 10-12 mm. Înălțarea  $T_{132}$  este de 10-12 mm. Înălțarea  $T_{133}$  este de 10-12 mm. Înălțarea  $T_{134}$  este de 10-12 mm. Înălțarea  $T_{135}$  este de 10-12 mm. Înălțarea  $T_{136}$  este de 10-12 mm. Înălțarea  $T_{137}$  este de 10-12 mm. Înălțarea  $T_{138}$  este de 10-12 mm. Înălțarea  $T_{139}$  este de 10-12 mm. Înălțarea  $T_{140}$  este de 10-12 mm. Înălțarea  $T_{141}$  este de 10-12 mm. Înălțarea  $T_{142}$  este de 10-12 mm. Înălțarea  $T_{143}$  este de 10-12 mm. Înălțarea  $T_{144}$  este de 10-12 mm. Înălțarea  $T_{145}$  este de 10-12 mm. Înălțarea  $T_{146}$  este de 10-12 mm. Înălțarea  $T_{147}$  este de 10-12 mm. Înălțarea  $T_{148}$  este de 10-12 mm. Înălțarea  $T_{149}$  este de 10-12 mm. Înălțarea  $T_{150}$  este de 10-12 mm. Înălțarea  $T_{151}$  este de 10-12 mm. Înălțarea  $T_{152}$  este de 10-12 mm. Înălțarea  $T_{153}$  este de 10-12 mm. Înălțarea  $T_{154}$  este de 10-12 mm. Înălțarea  $T_{155}$  este de 10-12 mm. Înălțarea  $T_{156}$  este de 10-12 mm. Înălțarea  $T_{157}$  este de 10-12 mm. Înălțarea  $T_{158}$  este de 10-12 mm. Înălțarea  $T_{159}$  este de 10-12 mm. Înălțarea  $T_{160}$  este de 10-12 mm. Înălțarea  $T_{161}$  este de 10-12 mm. Înălțarea  $T_{162}$  este de 10-12 mm. Înălțarea  $T_{163}$  este de 10-12 mm. Înălțarea  $T_{164}$  este de 10-12 mm. Înălțarea  $T_{165}$  este de 10-12 mm. Înălțarea  $T_{166}$  este de 10-12 mm. Înălțarea  $T_{167}$  este de 10-12 mm. Înălțarea  $T_{168}$  este de 10-12 mm. Înălțarea  $T_{169}$  este de 10-12 mm. Înălțarea  $T_{170}$  este de 10-12 mm. Înălțarea  $T_{171}$  este de 10-12 mm. Înălțarea  $T_{172}$  este de 10-12 mm. Înălțarea  $T_{173}$  este de 10-12 mm. Înălțarea  $T_{174}$  este de 10-12 mm. Înălțarea  $T_{175}$  este de 10-12 mm. Înălțarea  $T_{176}$  este de 10-12 mm. Înălțarea  $T_{177}$  este de 10-12 mm. Înălțarea  $T_{178}$  este de 10-12 mm. Înălțarea  $T_{179}$  este de 10-12 mm. Înălțarea  $T_{180}$  este de 10-12 mm. Înălțarea  $T_{181}$  este de 10-12 mm. Înălțarea  $T_{182}$  este de 10-12 mm. Înălțarea  $T_{183}$  este de 10-12 mm. Înălțarea  $T_{184}$  este de 10-12 mm. Înălțarea  $T_{185}$  este de 10-12 mm. Înălțarea  $T_{186}$  este de 10-12 mm. Înălțarea  $T_{187}$  este de 10-12 mm. Înălțarea  $T_{188}$  este de 10-12 mm. Înălțarea  $T_{189}$  este de 10-12 mm. Înălțarea  $T_{190}$  este de 10-12 mm. Înălțarea  $T_{191}$  este de 10-12 mm. Înălțarea  $T_{192}$  este de 10-12 mm. Înălțarea  $T_{193}$  este de 10-12 mm. Înălțarea  $T_{194}$  este de 10-12 mm. Înălțarea  $T_{195}$  este de 10-12 mm. Înălțarea  $T_{196}$  este de 10-12 mm. Înălțarea  $T_{197}$  este de 10-12 mm. Înălțarea  $T_{198}$  este de 10-12 mm. Înălțarea  $T_{199}$  este de 10-12 mm. Înălțarea  $T_{200}$  este de 10-12 mm. Înălțarea  $T_{201}$  este de 10-12 mm. Înălțarea  $T_{202}$  este de 10-12 mm. Înălțarea  $T_{203}$  este de 10-12 mm. Înălțarea  $T_{204}$  este de 10-12 mm. Înălțarea  $T_{205}$  este de 10-12 mm. Înălțarea  $T_{206}$  este de 10-12 mm. Înălțarea  $T_{207}$  este de 10-12 mm. Înălțarea  $T_{208}$  este de 10-12 mm. Înălțarea  $T_{209}$  este de 10-12 mm. Înălțarea  $T_{210}$  este de 10-12 mm. Înălțarea  $T_{211}$  este de 10-12 mm. Înălțarea  $T_{212}$  este de 10-12 mm. Înălțarea  $T_{213}$  este de 10-12 mm. Înălțarea  $T_{214}$  este de 10-12 mm. Înălțarea  $T_{215}$  este de 10-12 mm. Înălțarea  $T_{216}$  este de 10-12 mm. Înălțarea  $T_{217}$  este de 10-12 mm. Înălțarea  $T_{218}$  este de 10-12 mm. Înălțarea  $T_{219}$  este de 10-12 mm. Înălțarea  $T_{220}$  este de 10-12 mm. Înălțarea  $T_{221}$  este de 10-12 mm. Înălțarea  $T_{222}$  este de 10-12 mm. Înălțarea  $T_{223}$  este de 10-12 mm. Înălțarea  $T_{224}$  este de 10-12 mm. Înălțarea  $T_{225}$  este de 10-12 mm. Înălțarea  $T_{226}$  este de 10-12 mm. Înălțarea  $T_{227}$  este de 10-12 mm. Înălțarea  $T_{228}$  este de 10-12 mm. Înălțarea  $T_{229}$  este de 10-12 mm. Înălțarea  $T_{230}$  este de 10-12 mm. Înălțarea  $T_{231}$  este de 10-12 mm. Înălțarea  $T_{232}$  este de 10-12 mm. Înălțarea  $T_{233}$  este de 10-12 mm. Înălțarea  $T_{234}$  este de 10-12 mm. Înălțarea  $T_{235}$  este de 10-12 mm. Înălțarea  $T_{236}$  este de 10-12 mm. Înălțarea  $T_{237}$  este de 10-12 mm. Înălțarea  $T_{238}$  este de 10-12 mm. Înălțarea  $T_{239}$  este de 10-12 mm. Înălțarea  $T_{240}$  este de 10-12 mm. Înălțarea  $T_{241}$  este de 10-12 mm. Înălțarea  $T_{242}$  este de 10-12 mm. Înălțarea  $T_{243}$  este de 10-12 mm. Înălțarea  $T_{244}$  este de 10-12 mm. Înălțarea  $T_{245}$  este de 10-12 mm. Înălțarea  $T_{246}$  este de 10-12 mm. Înălțarea  $T_{247}$  este de 10-12 mm. Înălțarea  $T_{248}$  este de 10-12 mm. Înălțarea  $T_{249}$  este de 10-12 mm. Înălțarea  $T_{250}$  este de 10-12 mm. Înălțarea  $T_{251}$  este de 10-12 mm. Înălțarea  $T_{252}$  este de 10-12 mm. Înălțarea  $T_{253}$  este de 10-12 mm. Înălțarea  $T_{254}$  este de 10-12 mm. Înălțarea  $T_{255}$  este de 10-12 mm. Înălțarea  $T_{256}$  este de 10-12 mm. Înălțarea  $T_{257}$  este de 10-12 mm. Înălțarea  $T_{258}$  este de 10-12 mm. Înălțarea  $T_{259}$  este de 10-12 mm. Înălțarea  $T_{260}$  este de 10-12 mm. Înălțarea  $T_{261}$  este de 10-12 mm. Înălțarea  $T_{262}$  este de 10-12 mm. Înălțarea  $T_{263}$  este de 10-12 mm. Înălțarea  $T_{264}$  este de 10-12 mm. Înălțarea  $T_{265}$  este de 10-12 mm. Înălțarea  $T_{266}$  este de 10-12 mm. Înălțarea  $T_{267}$  este de 10-12 mm. Înălțarea  $T_{268}$  este de 10-12 mm. Înălțarea  $T_{269}$  este de 10-12 mm. Înălțarea  $T_{270}$  este de 10-12 mm. Înălțarea  $T_{271}$  este de 10-12 mm. Înălțarea  $T_{272}$  este de 10-12 mm. Înălțarea  $T_{273}$  este de 10-12 mm. Înălțarea  $T_{274}$  este de 10-12 mm. Înălțarea  $T_{275}$  este de 10-12 mm. Înălțarea  $T_{276}$  este de 10-12 mm. Înălțarea  $T_{277}$  este de 10-12 mm. Înălțarea  $T_{278}$  este de 10-12 mm. Înălțarea  $T_{279}$  este de 10-12 mm. Înălțarea  $T_{280}$  este de 10-12 mm. Înălțarea  $T_{281}$  este de 10-12 mm. Înălțarea  $T_{282}$  este de 10-12 mm. Înălțarea  $T_{283}$  este de 10-12 mm. Înălțarea  $T_{284}$  este de 10-12 mm. Înălțarea  $T_{285}$  este de 10-12 mm. Înălțarea  $T_{286}$  este de 10-12 mm. Înălțarea  $T_{287}$  este de 10-12 mm. Înălțarea  $T_{288}$  este de 10-12 mm. Înălțarea  $T_{289}$  este de 10-12 mm. Înălțarea  $T_{290}$  este de 10-12 mm. Înălțarea  $T_{291}$  este de 10-12 mm. Înălțarea  $T_{292}$  este de 10-12 mm. Înălțarea  $T_{293}$  este de 10-12 mm. Înălțarea  $T_{294}$  este de 10-12 mm. Înălțarea  $T_{295}$  este de 10-12 mm. Înălțarea  $T_{296}$  este de 10-12 mm. Înălțarea  $T_{297}$  este de 10-12 mm. Înălțarea  $T_{298}$  este de 10-12 mm. Înălțarea  $T_{299}$  este de 10-12 mm. Înălțarea  $T_{300}$  este de 10-12 mm. Înălțarea  $T_{301}$  este de 10-12 mm. Înălțarea  $T_{302}$  este de 10-12 mm. Înălțarea  $T_{303}$  este de 10-12 mm. Înălțarea  $T_{304}$  este de 10-12 mm. Înălțarea  $T_{305}$  este de 10-12 mm. Înălțarea  $T_{306}$  este de 10-12 mm. Înălțarea  $T_{307}$  este de 10-12 mm. Înălțarea  $T_{308}$  este de 10-12 mm. Înălțarea  $T_{309}$  este de 10-12 mm. Înălțarea  $T_{310}$  este de 10-12 mm. Înălțarea  $T_{311}$  este de 10-12 mm. Înălțarea  $T_{312}$  este de 10-12 mm. Înălțarea  $T_{313}$  este de 10-12 mm. Înălțarea  $T_{314}$  este de 10-12 mm. Înălțarea  $T_{315}$  este de 10-12 mm. Înălțarea  $T_{316}$  este de 10-12 mm. Înălțarea  $T_{317}$  este de 10-12 mm. Înălțarea  $T_{318}$  este de 10-12 mm. Înălțarea  $T_{319}$  este de 10-12 mm. Înălțarea  $T_{320}$  este de 10-12 mm. Înălțarea  $T_{321}$  este de 10-12 mm. Înălțarea  $T_{322}$  este de 10-12 mm. Înălțarea  $T_{323}$  este de 10-12 mm. Înălțarea  $T_{324}$  este de 10-12 mm. Înălțarea  $T_{325}$  este de 10-12 mm. Înălțarea  $T_{326}$  este de 10-12 mm. Înălțarea  $T_{327}$  este de 10-12 mm. Înălțarea  $T_{328}$  este de 10-12 mm. Înălțarea  $T_{329}$  este de 10-12 mm. Înălțarea  $T_{330}$  este de 10-12 mm. Înălțarea  $T_{331}$  este de 10-12 mm. Înălțarea  $T_{332}$  este de 10-12 mm. Înălțarea  $T_{333}$  este de 10-12 mm. Înălțarea  $T_{334}$  este de 10-12 mm. Înălțarea  $T_{335}$  este de 10-12 mm. Înălțarea  $T_{336}$  este de 10-12 mm. Înălțarea  $T_{337}$  este de 10-12 mm. Înălțarea  $T_{338}$  este de 10-12 mm. Înălțarea  $T_{339}$  este de 10-12 mm. Înălțarea  $T_{340}$  este de 10-12 mm. Înălțarea  $T_{341}$  este de 10-12 mm. Înălțarea  $T_{342}$  este de 10-12 mm. Înălțarea  $T_{343}$  este de 10-12 mm. Înălțarea  $T_{344}$  este de 10-12 mm. Înălțarea  $T_{345}$  este de 10-12 mm. Înălțarea  $T_{346}$  este de 10-12 mm. Înălțarea  $T_{347}$  este de 10-12 mm. Înălțarea  $T_{348}$  este de 10-12 mm. Înălțarea  $T_{349}$  este de 10-12 mm. Înălțarea  $T_{350}$  este de 10-12 mm. Înălțarea  $T_{351}$  este de 10-12 mm. Înălțarea  $T_{352}$  este de 10-12 mm. Înălțarea  $T_{353}$  este de 10-12 mm. Înălțarea  $T_{354}$  este de 10-12 mm. Înălțarea  $T_{355}$  este de 10-12 mm. Înălțarea  $T_{356}$  este de 10-12 mm. Înălțarea  $T_{357}$  este de 10-12 mm. Înălțarea  $T_{358}$  este de 10-12 mm. Înălțarea  $T_{359}$  este de 10-12 mm. Înălțarea  $T_{360}$  este de 10-12 mm. Înălțarea  $T_{361}$  este de 10-12 mm. Înălțarea  $T_{362}$  este de 10-12 mm. Înălțarea  $T_{363}$  este de 10-12 mm. Înălțarea  $T_{364}$  este de 10-12 mm. Înălțarea  $T_{365}$  este de 10-12 mm. Înălțarea  $T_{366}$  este de 10-12 mm. Înălțarea  $T_{367}$  este de 10-12 mm. Înălțarea  $T_{368}$  este de 10-12 mm. Înălțarea  $T_{369}$  este de 10-12 mm. Înălțarea  $T_{370}$  este de 10-12 mm. Înălțarea  $T_{371}$  este de 10-12 mm. Înălțarea  $T_{372}$  este de 10-12 mm. Înălțarea  $T_{373}$  este de 10-12 mm. Înălțarea  $T_{374}$  este de 10-12 mm. Înălțarea  $T_{375}$  este de 10-12 mm. Înălțarea  $T_{376}$  este de 10-12 mm. Înălțarea  $T_{377}$  este de 10-12 mm. Înălțarea  $T_{378}$  este de 10-12 mm. Înălțarea  $T_{379}$  este de 10-12 mm. Înălțarea  $T_{380}$  este de 10-12 mm. Înălțarea  $T_{381}$  este de 10-12 mm. Înălțarea  $T_{382}$  este de 10-12 mm. Înălțarea  $T_{383}$  este de 10-12 mm. Înălțarea  $T_{384}$  este de 10-12 mm. Înălțarea  $T_{385}$  este de 10-12 mm. Înălțarea  $T_{386}$  este de 10-12 mm. Înălțarea  $T_{387}$  este de 10-12 mm. Înălțarea  $T_{388}$  este de 10-12 mm. Înălțarea  $T_{389}$  este de 10-12 mm. Înălțarea  $T_{390}$  este de 10-12 mm. Înălțarea  $T_{391}$  este de 10-12 mm. Înălțarea  $T_{392}$  este de 10-12 mm. Înălțarea  $T_{393}$  este de 10-12 mm. Înălțarea  $T_{394}$  este de 10-12 mm. Înălțarea  $T_{395}$  este de 10-12 mm. Înălțarea  $T_{396}$  este de 10-12 mm. Înălțarea  $T_{397}$  este de 10-12 mm. Înălțarea  $T_{398}$  este de 10-12 mm. Înălțarea  $T_{399}$  este de 10-12 mm. Înălțarea  $T_{400}$  este de 10-12 mm. Înălțarea  $T_{401}$  este de 10-12 mm. Înălțarea  $T_{402}$  este de 10-12 mm. Înălțarea  $T_{403}$  este de 10-12 mm. Înălțarea  $T_{404}$  este de 10-

12



celor folosite la radioreceptoare pe circuitul de filament.

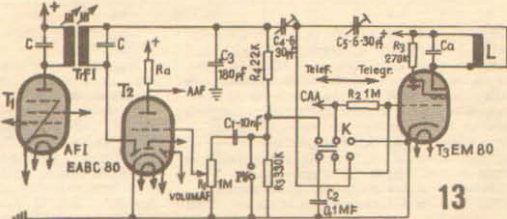
O metodă mai costisitoare este realizarea unui oscillator local independent cu o triodă sau o pentoda de orice tip, ca în fig. 11. La recepția emisiunilor nemodulată se conectează cu ajutorul unui intercupitor dublu și alimentarea anodică a oscillatorului Bif și ieșirea acestuia la dioda detectoare din radioceptor. Bobina  $L_1$ , circuitul acordat al oscillatorului, poate fi și bobină de la un transformator de frecvență intermediară. Bobina  $L_2$ , de reacție are circa 30% din numărul de spire al bobinei  $L_1$ . Ambele se pot realiza pe cartale de 10-12 mm, prevăzută cu miercurăglabil de ferocart.  $L_2$  conține 300 spire și  $L_1$  - 100 spire conductor de cupru ematit de 0,2 mm. Montajul se reglează astfel: se cuplăza la receptor, se pun condensatorul variabil  $C_1$  în poziție medie și din mijloc magnetic al bobinei său din capacitatea  $C_3$  și caută să se obțină fluierul cel mai jos (sunetul cel mai grav) și prezenta frecvența cele mai joase. Manevindu-se  $C_2$  se va obține apoi tonul dorit. O metodă mai interesantă de realizare a unui oscillator local pentru recepția emisiunilor de telegrafie nemodulată este prezentată în fig. 13. Toate turburile prezentate în schema se găsesc în radioceptor. În schema se amplifică de frecvență intermediară,  $T_2$  este mod obisnuit detector și preamplificator al semnalelor de audiofrecvență, iar  $T_3$  este indicatorul de acord. Toată modificarea constă în introducerea bobinei  $L_1$  și a comutatorului K. La recepția semnalelor modulate grila ochiului magic este legată la rezistența de sarcină a detectorului, respectiv la circuitul de pe capacul cutiei, poate fi și un comutator de unde de la radioceptorul "Turist" sau altul similar. Bobina  $L$  este de la un transformator de frecvență intermediară similară cu cele din radioceptor. Capacitatea  $C_4$  de acord. Bobina  $L_1$  poate fi realizată și conform datelor din fig. 12, în care cauz pentru o frecvență intermediară de 460 kHz se vor bobina 4 galăje la cîte 70 spire fiecare (total 280 spire) conductor lăsat de  $10 \times 0,07$  sau cupru —  $E + M + 0,15$  (fig. 12 a). Capacitatea Ca va fi de  $10 \text{ pF}$ . Pentru o medie frecvență de 110 kHz se va realiza bobina ca în fig. 12 b — bobinând 3 secțiuni a 265 spire fiecare (total 795 spire) conductor de cupru —  $E + M + 0,1$  mm, capacitatea de acord Ca va fi de  $180 \text{ pF}$ . Tonul dorit se regăsește din mijloc magnetic al bobinei și din capacitatea de cuplaj  $C_2$ . Recepția emisiunilor Cu SSB se poate face modificând întrucât etajul detector realizat cu diodele unei duble dioda-pentoda, cum ar fi: EBF 80, EBF 89, 6 BSC, EBF 11 etc. Schema modificărilor necesare este prezentată în fig. 14. Oscillatorul Bit poate fi oricare din cele prezentate mai sus. Cu comutatorul K în poziția „ $\rightarrow$ “ grila de comandă este conectată prin condensatorul  $C_4$  la potențiometrul de volum audio  $R_4$ , care face parte din rezistența de sarcină a diodelor detectoare (în stingă pe schema). Astfel, partea pentoda a tubulu lui  $T_2$  funcționează ca preamplificator la semnalelor de audiofrecvență care rezultă din detecția frecvenței intermediare modulate în amplitudine. Așa funcționează montajul și la recepția benzilor de radiodifuziune.

Trecind comutatorul K în poziția «b», montajul se transformă într-un etaj modulator (mixer) prin unirea grilei de comandă a pentodelui cu dioda de detecție (diода din stanga pe schema). Reglajul volumului se suspendă, fiind reglat pentru volumul maxim. Pe grila I și pe diodă se simultan semnalizează de la oscilatorul local (Bit) — îndeplinind funcția și de oscilatori pilot — și semnalale de medie frecvență obținute de la stația corespondentă, realizându-se astfel mixajul lor în spațiul grillă-catod al pentodelor.

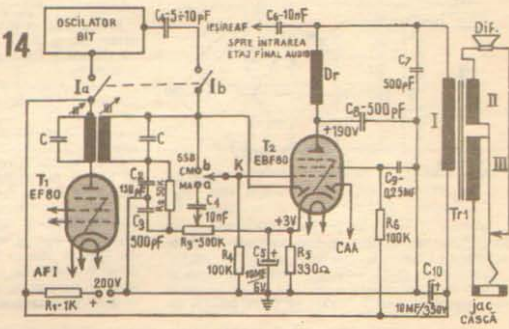
Ecranat, bobinind 200 spire conductor de cupru emailat și 0.2 mm. Pentru cei care vor să renunțe la avantajul amplificatorului final (mai ales că radioamatorii sunt în general obisnuiți să recepționeze în casă), prezentăm datele unui transformator de ieșire.

Acesta se va realiza pe un miez din lede de ferofosfici cu secțiunea de  $4 \text{ cm}^2$  (tip E 10 × 20 mm grosimea pachetului, fereastră de 10 × 30 mm). Înfașurarea anodică I conține 2.700 spire conductor de

Semnalul de radiofrecvență (medie frecvență) este detectat și audiofrecvența rezultată se culege în anodul pentodei după filtrarea ei de resturile de radiofrecvență, de către socul DR și capacitatele  $C_7$  și  $C_8$ . Bobina de soc DR are circa 1 mH și poate fi realizată și după datele prezentate anterior, pe un miez tip oale (auto-



13



Aplicat bazei tranzistorului  $T_2$ , pentru o bună stabilitate a frecvenței respectiv un regim optim pentru , în colectorul tranzistorului  $T_2$  a fost montată o rezistență de 1 K.

Acordul circuitului oscilant se realizează cu un condensator variabil cu dielectric de mică, de tipul celor folosite la receptoarele portabile. Evident că se pot utiliza și alte tipuri de condensatoare variabile cu capacitate maximă de 200 pF.

Tranzistorul  $T_2$  reprezintă etajul final pe care se realizează și modulația. Tranzistorul  $T_3$ , care este ampli-

cină comună cu tranzistorul  $T_2$ . Ca urmare a acestui fapt, la apariția unui semnal pe baza lui  $T_2$  se produce modularea în amplitudine a semnalului din colectorul tranzistorului  $T_2$ . Cuplajul cu antena se face prin condensatorul  $C_4$  din colectorul tranzistorului  $T_2$ .

Tranzistoarele  $T_1$  și  $T_2$  sunt de tipul EFT 317, EFT 319, P 402, AF 115, AF 125.

Tranzistorul  $T_3$  este de tip OC 70, EFT 353, MP 39, P 14 A. Montajul se poate realiza cu circuit convențional sau imprimat. Microfonul poate fi dinamic sau piezoelectric.

# **EMITATOR CU 3 TRANZISTOARE**

Constructia emittorilor a constituit totdeauna marea tentație a radioamatorilor, în special a celor începători. Cum regulamentul de funcționare a unei stații de radioemisie precizează puterea cu care se poate lucra, condiția esențială rămîne stăpînirea de către operator a lucrului în bandă.

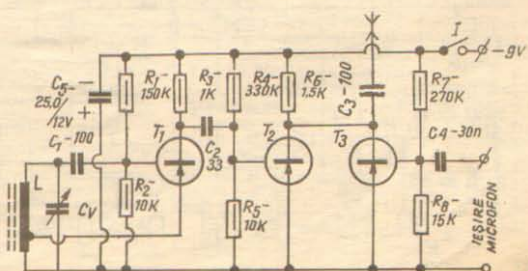
Este recomandabil ca pentru a se obisnui cu problemele de trafic, radioamatorul să lucreze la emisie cu puteri mici, legăturile făcindu-se în principal cu colegi din aceeași localitate.

În spiritul celor enunțate mai sus, prezentăm un emițător tranzistorizat de mică putere ce lucrează în banda de 3,5 MHz. Emițătorul este destinat a lucra în fonie MA-A3.

In trei puncte de tip Hartley cu o stabilitate a frecvenței destul de ridicată. Frecvența de lucru este determinată de valoarea inductanței  $L$  și a condensatorului  $C_v$ . Bobina  $L$  se realizează pe o carcăsă din material plastic, carton sau o carcăsă specială cu miez de ferocart.

Dacă carcasa este de carton sau plastic fără miez și are un diametru de 8–10 mm., pe ea se vor bobina spiră lîngă spiră 85 de spire de cupruemail cu diametrul de 0,2 mm. Cind se dispune de o carcășă cu diametrul 4–6 mm., cu miez de ferocart, se vor bobina 75 spire cu aceeași  
echipă.

În primul caz, priza se ia la spiră 15 de la masă, iar în celălalt caz la spiră 10. Semnalul obținut este cules din colțul unghiului  $\alpha$ .





# LABORATORUL

## VOLTMETRU ELECTRONIC

Ing. SERGIU FLORICĂ

Voltmetrul electronic a inceput de mult de a fi numai apăratul laboratoarelor industriale, în special după definirea unor scheme simple și eficiente cu semiconductoare. Cu toate că furnizorii aparaturelor de măsură încearcă să execute instrumente de tip AVO cu rezistență internă de peste 20 000  $\Omega/V$ , voltmetrele electronice rămân, datorită rezistenței de intrare, de ordinul sutelor de miile de ohmi, cele mai precise instrumente, în special, în domeniul măsurătorilor de tensiune la circuitele de înaltă frecvență.

Utilizând un circuit puncte (fig. 1), se constată că aplicând tensiunea de măsurare între bazele celor două

strumentul în diagonala emitoarelor, asigurându-se polaritatea respectivă a colectoarelor.

Bazați pe acest principiu a fost expusă în schema din figura 2, care se compune dintr-o punctă echilibrată cu potențiometru  $P_1 = 1 \text{ k}\Omega$ .

Tensiunea de intrare este aplicată prin două tranzistoare, care sunt cuplate galvanic, prin emitor, cu bazele tranzistorilor  $T_1$  și  $T_2$ . Domeniul de măsurare se stabilește cu interrupțorul  $K_1$ . Din punct de vedere electric, în această formă voltmetrul poate fi utilizat la măsurarea tensiunilor continue. Dacă se dorește a se face măsurători la circuite cu o frecvență de peste 100 kHz, se va folosi sonda de radiofrecvență (fig. 3) care conține o diodă de tip OA 685, un condensator stiroflex de 100 pF și o rezistență de 1 M $\Omega$ .

Montajul se va executa pe o placă de circuit imprimat (fig. 4) de  $120 \times 60$  mm, placă care se fixază cu ajutorul a patru suruburi pe peretele anterior al casetării (fig. 5).

Panoul frontal se montează instrumental (100  $\mu\text{A}$ ), comutatorul  $K$ , potențiometrul  $P_1 = 1 \text{ k}\Omega$  și bornele la diviziajă.

Casetă interioară are  $160 \times 90$  mm și se confectionează din tablă de aluminiu, grosă de 1,5 mm.

După verificarea corectitudinii executiei montajului, se închide interrupțorul  $K_1$  și se scurcărcăză bornele de intrare ale voltmetrului. Se actionează potențiometrul  $P_1 = 1 \text{ k}\Omega$  pînă se aduce acel instrumentului la diviziajă  $\infty$ .

Pentru a etalonă voltmetrul se va realiza montajul din figura 6, care are o baterie sau un grup de baterii ce se pot schimba (1,5, 3, 9, 12, 60 V), a căror tensiune se reglează cu un potențiometru de  $100\Omega$  și se verifică cu un instrument universal de măsură de cel

mai mare la diviziajă  $\infty$ .

Pentru a etalonă voltmetrul se va face cu un generator de radiofrecvență (minimum 1 MHz).

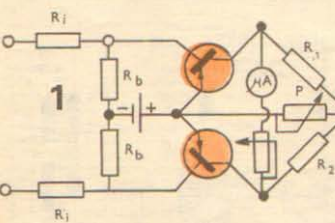
Recomandăm constructorilor ca etalonarea să se facă numai după ce circuitul se va monta în casetă,

pentru a evita orice influență din afară.

Această etalonare se va face cu un generator de radiofrecvență (minimum 1 MHz).

Recomandăm constructorilor ca etalonarea să se facă numai după ce circuitul se va monta în casetă,

pentru a evita orice influență din afară.



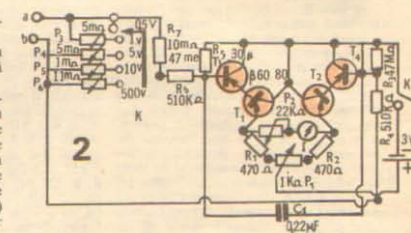
transistorale  $T_1$  și  $T_2$  se produce odezchilibrare a punții, deoarece în timp ce unul transistor își crește curentul de colector  $I_C$ , celuilalt își scade curentul  $I_C$ .

Prin această dublă variație de curent se obține o deviație a acului instrumentului. În scopul obținerii unei impedanțe mari la intrare, se poate conecta în-

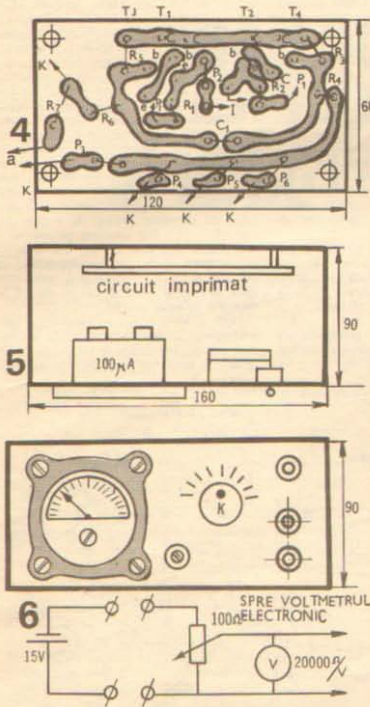
puțin  $20\ 000 \Omega/V$ .

La prima măsurătoare se obține o tensiune de  $0,5 \text{ V}$ , care se aplică la bornele de intrare ale voltmetrului electronic și se actionează asupra potențiometrului  $P_2 = 2,3 \text{k}\Omega$ , pînă la diviziajă maximă a instrumentului.

Al doilea domeniu de măsurare al voltmetrului electronic se stabilește cu potențiometrul  $P_3$ , astfel încât poziția maximă a acului să corespundă tensiunii



# ELECTRONISTULUI



TRANZISTOARE DE ÎNALTĂ FRECVENTĂ

	tip	$U_{CBO}$ (V)	$U_{EBO}$ (V)	$I_c$ (mA)	$P_d$ (mW)	$F_T$ (MHz)
BC 107	N	45	5	100	300	300
BC 108	N	20	5	100	300	300
BC 109	N	20	5	100	300	300
BF 167	N	40	30	25	130	350
BF 173	N	40	4	25	200	550
BF 180	N	30	3	20	150	700
BF 181	N	30	3	20	150	600
BF 182	N	30	3	20	200	600
BF 183	N	30	3	20	200	800
BF 200	N	30	3	20	150	500
BF 214	N	30	4	30	160	250
BF 215	N	30	4	30	160	250
EFT 306	P	15	9	100	150	2,5
EFT 307	P	15	9	100	150	5,7
EFT 317	P	20	0,5	10	150	40
EFT 320	P	20	0,5	10	150	35

N = NPN    P = PNP

## DETERMINAREA FRECVENTEI LIMITĂ PENTRU TRANZISTOARE

indu-se trei diode în serie, respectiv trei diode DZ 311. Termistorul folosit este de tip BR-320-03 P/150 k. Cei ce nu posedă un termistor pot utiliza o rezistență fixă, dar nivelul semnalului la ieșire nu se va mai menține constant în bandă.

Transformatorul de rețea este făcut pe un miez cu secțiunea de  $4.5 \text{ cm}^2$ . În primul pentru 120 V se vor bobina 1 600 spire și 0,2 mm, iar pentru tensiunile de 220 V se vor bobina încă 1 200 spire și 0,15 mm.

În secundar se vor bobina 470 spire și 0,4 mm. Montarea generatorului se va face pe un circuit imprimat sau pe o bucată de textile, pe care s-au prins capse și se va avea în vedere ca transformatorul de rețea să fie cît mai deosebit posibil și bine ecranat față de partea electronică propriu-zisă.

După ce montajul a fost executat, iar pe panoul frontal al aparatului (înregat montaj se introduce într-o cutie metalică) au fost fixate axele potențiometrelor, comutatoarelor, bornele de ieșire și instrumentul de măsură, se începe reglajul generatorului.

În primul rînd se dezlipesc rezistența  $R_{16}$  și se măsoară la bornele condensatorului  $C_{20}$  o tensiune de aproximativ 30 V.

Aplicând apoi la intrarea tranzistorului  $T_2$  (la bornele lui  $R_{20}$ ) un semnal sinusoidal de la alt generator, cu nivel de 5 Vef, voltmetrul de ieșire fiind pe scală de 10 V, și vom controla ieșirea (emitor  $T_3$ ) cu un osciloscop. Se va modifica valoarea lui  $R_{21}$ , pînă ce pe osciloscop va apărea un semnal fără distorsiuni, iar curentul de emitor al lui  $T_3$  să fie cuprins între 70 și 100 mA. Această observație se va face pentru 50, 400, 1 000 și 10 000 Hz. Reglajul etajului de ieșire fiind terminat, se cuplăza  $R_{16}$ , avind de astă dată oscilații în propriul generator ( $T_1$  și  $T_2$ ). Se controlează cu osciloscopul oscilațiile proprii în cîteva game (alternatorul se pune pe poziția 1). Se reglează  $R_{13}$ ,  $R_{15}$  și  $R_{16}$  încă să obținem amplitudinea maximă și formă de undă perfect sinusoidală la ieșire. Comutând apoi pe diverse game, se controlează cu osciloscopul dacă forma sinusoidală a semnalului se menține; în caz contrar, se refac reglajul din  $R_{13}$ ,  $R_{15}$  și  $R_{16}$ .

Dacă nivelul are variații instantanee, se caută a reduce capacitatele parazite ale montajului sau se va sunta  $R_2$  cu o capacitate de valoare  $20 \pm 100 \mu\text{F}$ .

In continuare se face etalonarea instrumentului de măsură. Pentru aceasta se deconectează cursorul potențiometrului  $R_{20}$  de la condensatorul  $C_{20}$ . Se conectează la intrarea lui  $T_3$  un generator auxiliar și la ieșire (emitor  $T_3$ ) se conectează un osciloscop și un voltmetru electronic. Se regleză nivelul de intrare pînă ce la ieșire vom avea 5 V și se reglează  $R_{21}$  ca acul instrumentului să indice jumătatea scălei, deci 5 divizuni.

Se repetă aceeași operație pentru sensibilitatea 1 V și se ajustează  $R_{20}$  pînă ce acul instrumentului indică 10 diviz., (capăt de scală).

Menținindu-se nivelul constant la intrare, se variază frecvența și se observă dacă instrumentul propriu nu are variații, indicăjîi mai mari de 2%.

Etonajindu-se în frecvență se poate face prin metoda figurilor Lissajous.

Pentru aceasta se osciloscop, pe intrarea deflexiei pe verticală, se conectează ieșirea generatorului construit, iar la deflexia pe orizontală se conectează un generator etalon.

EGalitatea frecvenței celor două generatoare se traduce prin apariția pe ecranul osciloscopului a unui cerc sau a unei elipse.

Etalonarea se începe cu frecvențele joase, adică  $S_1$  în poziția 1, gama acoperită fiind între 20 și 200 Hz.

Se fixează pe scală gradată pentru 20 Hz și pentru 200 Hz, apoi repere din interiorul gamei.

Comutând  $S_1$  pe gama 2 și verificând dacă corespund gradajile sale corect, înmulțindu-linieînțeles cu 10. Dacă gradajile nu corespund, pentru a crește frecvența se vor măsura valorile condensatorilor din gamă, iar pentru a diminua frecvența se vor mări valorile condensatorelor.

În orice caz, valorile condensatorilor din aceeași gamă trebuie să fie căt mai apropiate cu putință. Operația de etalonare urmează aceeași manieră.

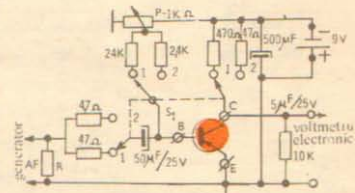
Dacă în generator pentru  $T_1$  și  $T_2$  se vor utiliza tranzistoare cu frecvență de tranziție ridicată (de exemplu, AF 121 – AF 179), se poate monta o cincină gamă cuprinsă între 200 kHz și 2 MHz. Pentru aceleași potențiometre, condensatoriale din această nouă gamă vor avea valoarea de 50 pF. Recomandabil este ca să se utilizeze un condensator fix de 30 pF și un trimer de 10–20 pF, în felul acesta reglajul fiind foarte exact.

Pentru simetria etajelor de joasă frecvență sunt necesare, de regulă, perechi de tranzistoare la care curentul rezidual  $I_{th}$  și factorul de amplificare  $\beta$  să fie egali.

Se întimplă ca la frecvențe de peste 5 kHz să apară o dezechilibrare importantă, întrucât la aceste frecvențe, pentru anumite tranzistoare, factorul de amplificare să scăda brusc.

Aparatul prezentat alăturat permite determinarea rapidă a frecvenței limită  $f_l$  pentru un tranzistor în montaj cu emitorul comun.

Toate deauna se va căuta ca rezistența  $R_f$  să aibă aceeași valoare cu impedanța de ieșire a generatorului audio utilizat. Comutatorul  $S_1$  se fixează pe poziția 1 pentru tranzistoare de mică putere și pe poziția 2 pentru cele de putere mare.



Măsurătoarea se face în felul următor:

Se pun comutatorul  $S_1$  în poziția corespunzătoare puterii tranzistorului măsurat. Înainte de a conecta voltmetru electronic și generator, se rotește potențiometrul  $P$  pînă măsurăm pe colectorul tranzistorului o tensiune egală cu jumătate din tensiunea de alimentare.

Se conectează apoi voltmetru electronic și generatorul de joasă frecvență. Semnalul din generator va avea frecvență de 1 000 Hz. Nivelul semnalului se va regla pînă voltmetru electronic va măsura 1 V.

Apoi se crește progresiv frecvența generatorului, pînă cind voltmetru va indica o tensiune de ieșire de 0,7 V. Această frecvență, pentru care voltmetru indică 0,7 V, reprezintă frecvența de tăiere  $f_{212}$ , sau  $f_l$ .

# RADIOCONSTRUCȚII

## EXPERIENȚE ELECTRONICE

Nu rareori tinerii constructori au pătrâsi un domeniu al pasiunii lor în urma unui eveniment, care în majoritatea cazurilor se datorează unor improvizări de pieșe. Gustul amatorului nereușit să unui montaj rămîne mult timp în sufletul amatorului, făcându-l să se reinvoară la intervale de timp asupra lucrărilor abandonate.

Rubrica «Experiențe» își propune să elimeze pe calea posibilei montări care ar ridica dubii în realizarea lor și să le prezinte numai pe acele montaje care au fost deosebit de executate și verificate, fără a avea un criteriu de selecție tematică.

Rubrica, avind caracterul unei surse secundare de documentație, invită pe toți amatorii pasionații de montaje electronice să realizeze lucrările lor să ne le comunice în vederea prelucrării și publicării acestora.

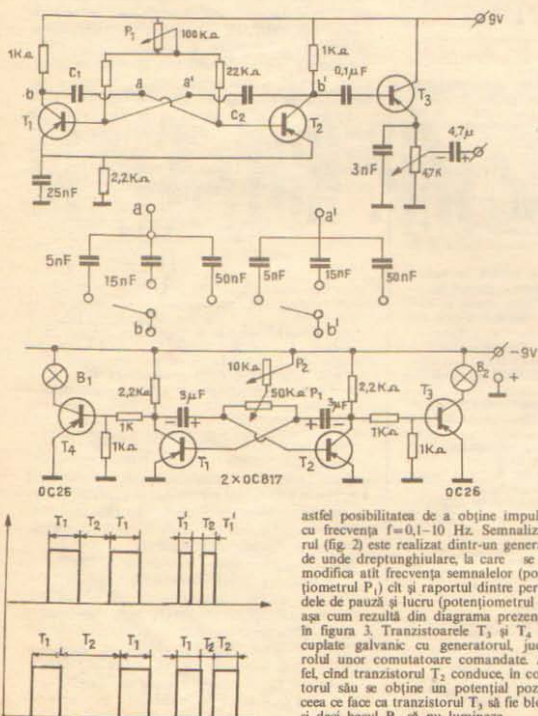
**Montaj 1.** În multe domenii ale electronicii, circuitul basculant astabil (multivibrator) are aplicații de la simplele generatoare de audiofrecvență pînă la generateoare de impulsuri de formă dreptunghiulară utilizate în calculatoarele electronice.

Circuitul basculant astabil este format din două tranzistoare de același tip, cuplate RC, în cele mai multe cazuri, după o schemă simetrică. Semiconductoarele au

două stări instabile, modificările realizându-se automat prin încărcare și descărcare unor condensatoare. Pentru construirea generatorului de audiofrecvență (fig. 1) sunt necesare trei tranzistoare ușor procurabile, MP 41, OC 812, EFT 307, al căror factor de amplificare este  $\beta = 40-60$ . Este cunoscut faptul că prin modificarea valorilor capacitaților  $C_1$  și  $C_2$  și a rezistenței  $P_1$  se poate obține o variație a constantei de timp a circuitului, adică a frecvenței semnalului de ieșire. Bazajî pe aceste consideranțe, se poate lărgi zona de aplicabilitate a montajului, transformîndu-l într-o sculă utilă unui amator, în sensul că, adăugîndu-i un comutator cu 3x2 contacte, se obține un generator de semnale dreptunghiulare cu o frecvență variabilă de la 500 Hz la 350 Hz. De pe emitorul celui de al treilea tranzistor se culege semnalul prin intermediul unui potențiometru de 4,7 k $\Omega$ . Condensatorul de 3 mF, montat în paralel pe potențiometru, corectează partea descrezătoare a semnalului.

Generatorul se execută într-o casetă din PVC  $100 \times 100 \times 50$  mm, alimentată lui făcîndu-se dintr-o baterie de 9 V.

**Montaj 2.** Se constată de la montajul anterior că mărimind valoarea capacitaților  $C_1$  și  $C_2$  se micșorează frecvența, avînd



astfel posibilitatea de a obține impulsuri cu frecvență  $f = 0,1-10$  Hz. Semnalizatorul (fig. 2) este realizat dintr-un generator de unde dreptunghiulară, la care se pot modifica atât frecvența semnalelor (potențiometru  $P_1$ ) cât și raportul dintre perioadele de pauză și lucru (potențiometru  $P_2$ ), așa cum rezultă din diagrama prezentată în figura 3. Tranzistoarele  $T_3$  și  $T_4$  sunt cuplate galvanic cu generatorul, jucînd rolul unor comutatoare comandoane. Astfel, cînd tranzistorul  $T_2$  conduce, în colectoare său se obține un potențial pozitiv, ceea ce face ca tranzistorul  $T_3$  să fie blocat și deci becul  $B_2$  să nu lumineze.

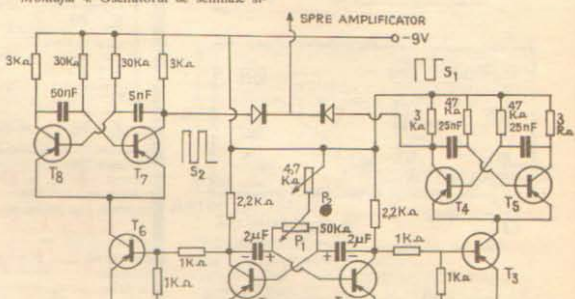
Alimentarea semnalizatorului se face din două baterii de 4,5 V/500 mA/oră. Acest dispozitiv poate fi utilizat la tretelelelectricăsaupentrusemnalizări de către conductorii auto.

**Montaj 3.** O combinație anterioară ne conduce la o sirenă cu două tonuri (fig. 4), în a cărei componentă intră un generator de impulsuri dreptunghiulare ce comandă în regim «da-nu» două tranzistoare EFT 321 prin care se realizează alimentarea altor două generateure de audiofrecvență, ale căror semnale au frecvențe diferite.

Semnalele de audiofrecvență sint culese prin două diode (a se evita returnul semnalelor) și aplicate unui amplificator de joasă frecvență.

Dacă tranzistorul  $T_2$  este blocat, potențialul negativ din colectorul său face ca tranzistorul  $T_3$  să conduce (negativă baza și deci multivibratoare  $T_4$  și  $T_5$  să primească tensiune de alimentare, în timp ce tranzistoarele  $T_6$  și  $T_7$  nu sint alimentate. Cu cele două potențiometre  $P_1$  și  $P_2$ , se regleză frecvența întreperilor și raportul dintre durata celor două semnale (fig. 5).

**Montaj 4.** Oscilatorul de semnale și-

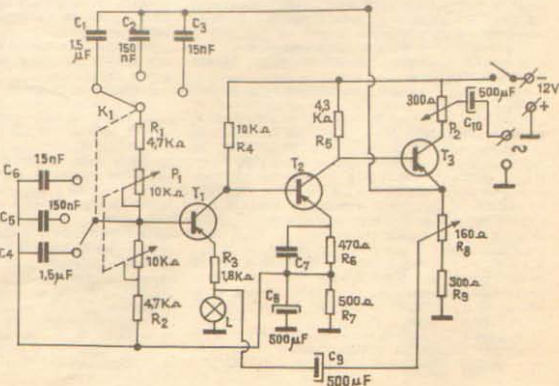


nusoidală (fig. 6) reprezintă un generator RC cu rețea Wien cu tranzistoare.

O rețea Wien este compusă dintr-un element  $R_3C_1$  (fig. 7) trece sus și un element  $R_2C_2$  trece jos, elemente care la o anumită frecvență pot să realizeze un defazaj nul între tensiunile de intrare și ieșire. Frevența la care se obține acest defazaj este în funcție de valoarele capacitaților și rezistențelor ce intră în circuit.

In cazul oscilatoarelor RC cu tuburi electronice modificarea frecvenței este realizată cu ajutorul condensatorelor variabile  $2 \times 500$  pF, ceea ce mărește considerabil gabaritul construcției.

Utilizînd o schemă de generator RC cu semiconductoare, variația de frecvență se poate realiza cu un potențiometru dublu



# RADIOCONSTRUCȚII

## TRANZISTOARE CU EFEKT DE CIMP

I. ISVORANU

Tranzistorul cu efect de cimp TEC este un dispozitiv semiconductor, la care controlul curentului ce trece prin dispozitiv se face cu ajutorul unui cimp electric care modulează conductanță căii de trecere a curentului — cimpul electric fiind perpendicular pe calea de trecere a curentului electric.

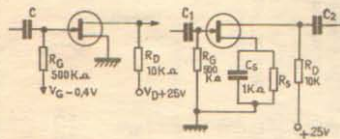
Notăția consacrată a acestor dispozitive unelelor se face după cum rezultă din fig. 1.

### PUTINĂ TEORIE

În principiu, TEC-ul este un dispozitiv semiconductor cu patru electrozi sursă, drenă, grilă și bază.

În esență, procesul fizic ce se produce într-un tranzistor unipolar este următorul: cind grila nu este polarizată, aplicarea unei tensiuni pozitive pe drenă duce la o deplasare de electroni spre sursă. Această mișcare este cu atât mai intensă cu cît tensiunea este mai ridicată. Totul se petrece ca și cum spațiul drenă-sursă ar fi o rezistență. Creșterea curentului produce o cădere de tensiune la capătul rezistenței drenă-sursă, generând o polarizare inversă a grilei. În acest fel se creează în jurul canalului drenă-sursă o zonă de strangulare, ce倾de să limiteze curentul drenă-sursă. De la o anumită tensiune (vezi graficul din fig. 2) se produce efectul de saturare, cind curentul nu mai crește chiar dacă se mărește tensiunea aplicată jonețuii drenă-sursă.

Din cele de mai sus se poate face o analogie



între tranzistorul cu efect de cimp și o pentodă obișnuită. Valoarea curentului de schemă la care se manifestă acest fenomen se numește de saturare.  $I_g$  dat și tensiunea corespunzătoare acestui curent de saturare este în jur de  $+5\text{ V}$ .

Tensiunea care anulează curentul drenă-sursă este de circa  $-1.8\text{ V}$  ( $V_g$ ).

### NOTAȚIA TEC

De cele mai multe ori, baza TEC este legată la grilă chiar prin tehnologia de realizare a tranzistorului unipolar.

Alteori, baza este izolată față de grilă și este scosă din capsula printr-un terminal. De aici rezultă și denumirile pe care le capătă tranzistoarele unipolare.

La un TEC cu grilă izolată se observă că tranzistorul este realizat dintr-un substrat de tip «p», de regulă siliciu. În care se formează prin difuzie două regiuni puternic dotate cu «p», situate la cîteva microni una de alta. Această regiune repre-

zintă canalul conductor, iar cele două regiuni — sursă și drenă. Canalul conductor este acoperit de un strat izolant din  $\text{SiO}_2$ , peste care se depune stratul metalic ce reprezintă grila.

Baza este, de fapt, contactul omicnic la substrat. Cind acest substrat este semiconductor, tranzistorul se numește TEC-MIS (metal-izolator-semiconductor — MIS).

Cind substratul este format din  $\text{SiO}_2$ , denumirea tranzistorului se transformă în TEC-MOS (metal-oxid-semiconductor — MOS).

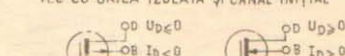
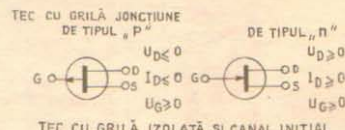
### SISTEME DE POLARIZARE

Fig. 3 prezintă modul de polarizare a unui TEC, montaj similar cu montajele de polarizări folosite la tuburi electronice.

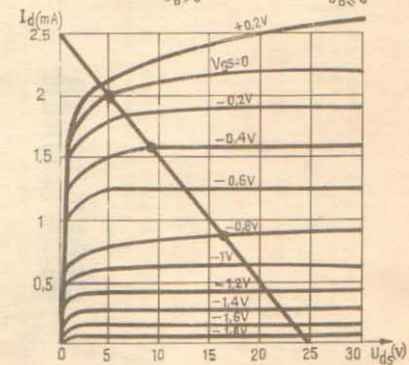
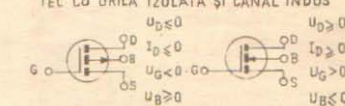
Rezistența  $R_G$  nu are nici o influență asupra tensiunii atunci cind etajul funcționează într-un amplificator liniar.

Un montaj la care polarizarea grilei este asigurată printr-un sistem de divizare format de grupul de rezistențe  $R_{G1}$  și  $R_{G2}$  este prezentat în fig. 4.

Polarizarea automată se realizează printr-un



### TEC CU GRILĂ IZOLATĂ ȘI CANAL INDUS



montaj electronic de tipul celui prezentat în fig. 5. Sursa se află la un potențial mai ridicat față de grilă, care se află la masă. Condensatorul  $C_S$  este un condensator de decuplare și are rolul de a mări cîstigul în amplificare al etajului respectiv.

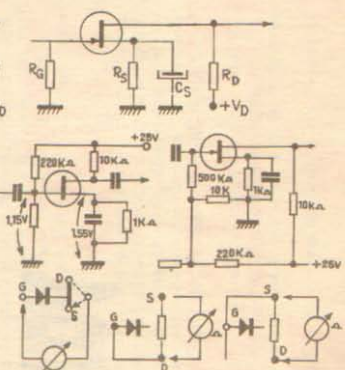
Funcționarea montajului din fig. 6 se petrece în felul următor: Tensiunea de drenă este aleasă la  $+25\text{ V}$ . Currentul de drenă atinge în momentul primirii semnalului valoarea de saturare — vezi graficul din fig. 2. Din grafic rezultă că valoarea curentului de drenă este de circa  $2.5\text{ mA}$ . Cunoșnind aceste valori, se poate deduce foarte repede rezistența de sarcină a drenelui:

$$R_D = \frac{25\text{ V}}{2.5 \cdot 10^{-4}\text{ A}} = 10\Omega = 10\text{ k}\Omega$$

Același montaj este prezentat în fig. 6a, dar cu o polarizare automată.

In schema prezentată în fig. 7, semnalul de vîrf admisibil va fi de  $\pm 0.4\text{ V}$  și tensiunea (fig. 6a) de grilă variază între  $0\text{ V}$  și  $0.8\text{ V}$ . Pe alternanță pozitivă, currentul de drenă este de circa  $2\text{ mA}$  pentru o tensiune de drenă  $+5\text{ V}$ . Pe alternanță negativă,  $V_g = 0.8\text{ V}$ , currentul de drenă scade la  $0.8\text{ mA}$ .

Fig. 8 ilustrează o altă variantă de polarizare a unui TEC, folosind divizoare formate din rezistențe.



### VERIFICAREA TEC

Folosind un voltmètre, un ohmetru și un ampermetru, putem face verificarea validității tranzistoarelor unipolare relativ destul de simplu.

Utilizând un ohmetru (fig. 9), se face verificarea TEC ca diodă. Schimbînd testorul instrumentului de pe drenă pe sursă, se verifică legătura grilei cu drenă, respectiv cu sursă. În sens direct, instrumentul va măsura o rezistență mică, iar în sens invers va fi valoare foarte mare. De resemnat că prin această metodă de măsurare se poate identifica tipul tranzistorului, precum și elementele sursă și drenă. Verificarea canalului sursă-drenă se face conform desenului din fig. 10 a, b.

-ÎN EXCLUSIVITATE DE LA CITITORII REVISTEI-

# COMANDĂ VOCALĂ

Gh. PUIU

Vă prezentăm modul de realizare a unui dispozitiv cu ajutorul căruia televizorul sau radioreceptorul pornește automat, la simpla pronunțare a unui cuvânt sau a unui fluierat.

Schema de principiu este dată în figura alăturată. Aparatul funcționează în modul următor: microfonul M captează sunetul emis și-l transformă în curent de audiofrecvență.

Acesta este amplificat de tranzistorul T<sub>1</sub> și ajunge în releeul R<sub>1</sub>, a cărui armătură va fi atrasă, închizind contactele X-Y.

La închiderea contactelor X-Y, condensatorul C<sub>c</sub> (care inițial s-a încărcat) este suntat și se descarcă.

În același timp, punctul Z este cuplat direct la -9 V și, ca atare, tranzistorul este deschis, iar releeul R<sub>2</sub> atrage armătura, făcând contact între punctele A-B, care permit alimentarea televizorului cu curent alternativ.

În această situație, chiar dacă nu se mai pronunță nici un cuvânt în față microfonului M (deci releeul R<sub>1</sub> nu este acționat), totuși contactul alimentării tele-

vizorului va fi asigurat pentru o durată de timp care depinde de valoarea condensatorului C<sub>t</sub> și a potențiometrului P (timpul cit Ct se descarcă).

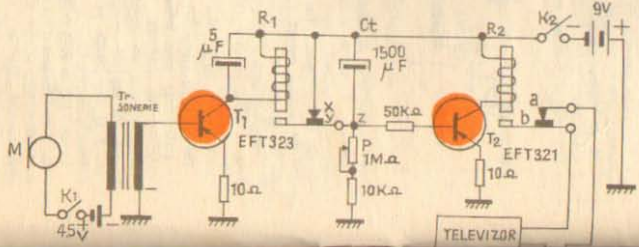
Valoarea condensatorului va fi de cel puțin 1 500 microfarazi. Practic această valoare se obține prin legarea în paralel a mai multor condensatoare.

Reglajul aparatului constă în stabilirea exactă a valorii lui C<sub>t</sub> și în reglarea lui P, astfel încât armătura releeului R<sub>2</sub> să fie atrasă pînă cînd televizorul începe să funcționeze. Din acest moment, sunetele emise de difuzorul televizorului vor fi captate de microfonul M, asigurînd astfel și în continuare alimentarea televizorului.

Trebuițe menționat faptul că la alimentarea televizorului prin acest aparat butonul de pornire a televizorului trebuie să fie în poziția "deschis".

Oprirea televizorului se va face în mod normal de la butonul acestuia.

Aparatul descris mai sus poate fi adaptat pentru diverse scopuri. Pentru aceasta nu sunt necesare decît cîteva mici modificări.



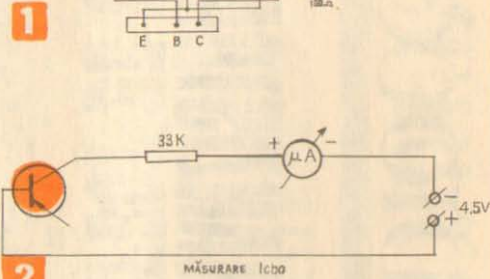
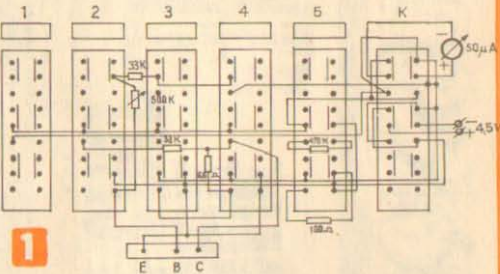
# VERIFICAREA TRANZISTOARELOR

Ing. NICOLAE CIUREZ

Cu ajutorul acestui aparat se pot măsura: curentul rezidual colector-bază I<sub>CBO</sub> și factorul de amplificare β al oricărui tip de tranzistor. Pentru aceasta se trebuie o claviatură de ALBATROS, un comutator de unde la ZEFIR, un soclu pentru tranzistoare (se poate construi), un potențiometru de 500 kΩ, cîteva rezistențe și un instrument de măsură de 50 μA pînă la curentul de ordinul sutelor de mA (T 435 etc.).

Simplitatea aparatului constă în aceea că practic montajul se execută pe claviatură, care dictează dimensiunile acestuia.

Verificarea tranzistoarelor se face astfel: poziția 1 a claviaturii este pentru întreruperea alimentării. Pe poziția 2 se măsoară I<sub>CBO</sub> (sensibilitatea instrumentului este în acest caz 50 μA). Pe poziția 3 se regleză cu ajutorul potențiometrului P curentul bazei la valoarea de 50 μA (pentru tranzistor cu β pînă la 100), respectiv la 10μA (pentru tranzistor cu β pînă la 500). Valoarea lui β se citește pe poziția 4 a claviaturii (sensibilitatea instrumentului fiind în acest caz de 5 mA). În poziția 5 se verifică valoarea tensiunii sursei de alimentare care trebuie să fie de 4.5 V (se folosește o baterie de 4.5 V). Pentru verificarea tranzistoarelor p.n.p. sau n.p.n. comutatorul K se pune la poziția 1, respectiv 2. Verificarea tranzistoarelor de putere dictează folosirea unui aparat de măsură pentru curenti de ordinul sutelor de mA. Montarea întregului ansamblu într-o carcasa simplă și estetică rămîne la fantă constructorului. Aparatul a fost construit și funcționează în condiții foarte bune.



**ÎN NUMĂRUL VIITOR AL REVISTEI,  
LISTA COMPLETĂ  
A PARTICIPANȚILOR  
ÎNSCRISI  
LA NOUL NOSTRU CONCURS TEHNIUM**

# PORNIREA AUTOMATĂ

Ing. A. CRISTESCU

Dispozitivul din fig. 1, ușor de realizat, este de fapt un contact realizat între lamela 2 — care se poate lăsa de la un comutator cheie tip telefonic — și lamela de comandă 9 a mecanismului sonerie dintr-un ceas deșteptător tip «Victoria».

Lamela 2 va fi izolată de întreg mecanismul ceasornic printr-o șaibă și bucsă (1) din material izolator.

Punctul a este locul de conexiune a primului fir al contactului, iar punctul b reprezintă masa ceasornicului și locul de conexiune a celui de-al doilea fir.

Și acum iată cum funcționează dispozitivul: Mecanismul de fixare a ceasului deșteptător pentru o anumită oră este compus din butonul exterior 10, roata dințată 6 care angrenează roata dințată 5 ce este solidară atât cu acul indicator 3 de pe cadranul ceasornicului 7 cît și cu cama 4. Cama 4 are un locaș ce va permite roții dințate 12 (care este legată cinematic prin roata dințată 11 de mecanismul orar al ceasornicului) ca la atingerea orei dinainte stabilite să intre cu ciocul pe care îl posedă în locașul camei, deplasându-se în poziția indicată cu linie întretreruptă. Odată cu roata 12, tija 9 se va deplasa și ea în poziția indicată linie întretreruptă, eliberind mecanismul cu clichet 14 al ciocanelului 13, care prin lovirea carcasei 8 produce sunetul deșteptător. În același timp se efectuează și contactul K dintre lamelele 9 și 2, contact care va putea actiona pornirea unui aparat cu tranzistoare, unui casetofon etc.

Mechanismul de oprire 15 a ciocanelului deșteptător 13 nu împiedică realizarea contactului K, astfel contactul se produce și în cazul blocării ciocanelului deșteptător.

Ca o aplicație «elegantă» a dispozitivului de mai sus vă propunem deschiderea la o oră dinainte stabilită a unui receptor cu tranzistoare (fig. 2).

Fiecare receptor portabil tranzistorizat posedă o bornă pentru minicasă și casca cu cordon și ștecher. Pentru realizarea celor ce urmează, de la bun început trebuie să știm că audierea prin casă nu va mai putea fi efectuată.

Pentru cei care au renunțat la casă, iată modificările ce trebuie aduse aparatului dv.

Bornele a și b ale contactului din ceasul deșteptător vor fi conectate la cele două fire ale cablului cu ștecherul de la minicasă (minicasă fiind înălțată).

Borna de casă de la aparat are conexiunile interioare ca în figura a. Rolul acestei borne este de a conecta casă la aparat și de a deconecta difuzorul aparatului la introducerea ștecherului. Vom începe prin a dezlipi conexiunile 11', 22' și 33' și a realiza legătura la difuzor ca în figura b. În cea de a doua fază vom efectua legătura dintre lamelele 1 și 3 și legătura punctelor 1 și 2 pe unul din firele de alimentare a aparatului de la baterie (figura c).

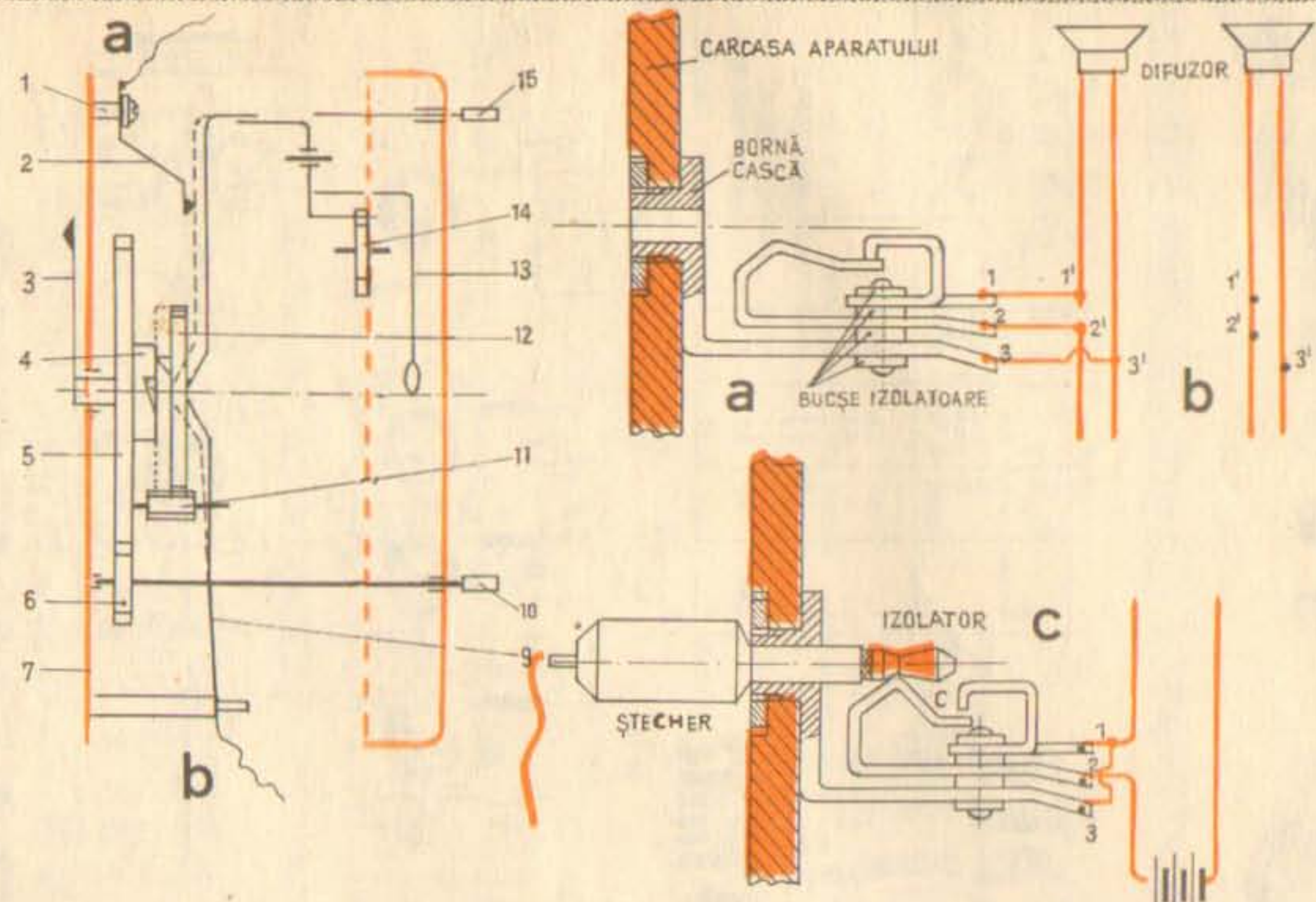
Funcționarea este următoarea:

Aparatul funcționează normal în cazul cînd ștecherul este scos din bornă, contactul c fiind închis, prin el se efectuează alimentarea aparatului de la baterie.

La introducerea ștecherului, contactul c se deschide, alimentarea fiind întreruptă pînă cînd contactul K al deșteptătorului se va închide. La închiderea contactului K, punctele 2 și 3 sunt scurtcircuite, deci alimentarea aparatului este refăcută.

Prin urmare, pentru pregătirea dispozitivului se va fixa ora la care receptorul va trebui să funcționeze, se alege postul și intensitatea sonoră dorită, iar prin introducerea ștecherului receptorul nu va mai fi alimentat pînă la închiderea contactului K.

Dispozitivul de mai sus l-am realizat pe un ceas deșteptător tip «Victoria» și un radioreceptor «Mamaia».



## O MODIFICARE UTILĂ

Unele etaje finale ale receptoarelor sunt construite după o schemă fără transformator de ieșire, folosind două tranzistoare complementare, SFT 373 de tip npn și EFT 323 de tip pnp.

Curentul de repaus, care circulă prin tranzistoarele T6 și T7, depinde de cădere de tensiune ce apare la bornele termistorului Te de  $130\Omega$  în paralel cu rezistența de  $220\Omega$ .

Cînd tensiunea de alimentare scade sub 5 V, alimentarea bazelor etajului final se face cu o tensiune mai mică, ceea ce duce la creșterea distorsiunilor, deoarece în acest caz tranzistoarele T6 și T7 lucrează în regim neliniar. Pe de altă parte, din practică s-a observat că rezistența și Te își modifică valoarea în timp, ducînd la o creștere a curentului de repaus ce circulă prin tranzistoarele etajului final.

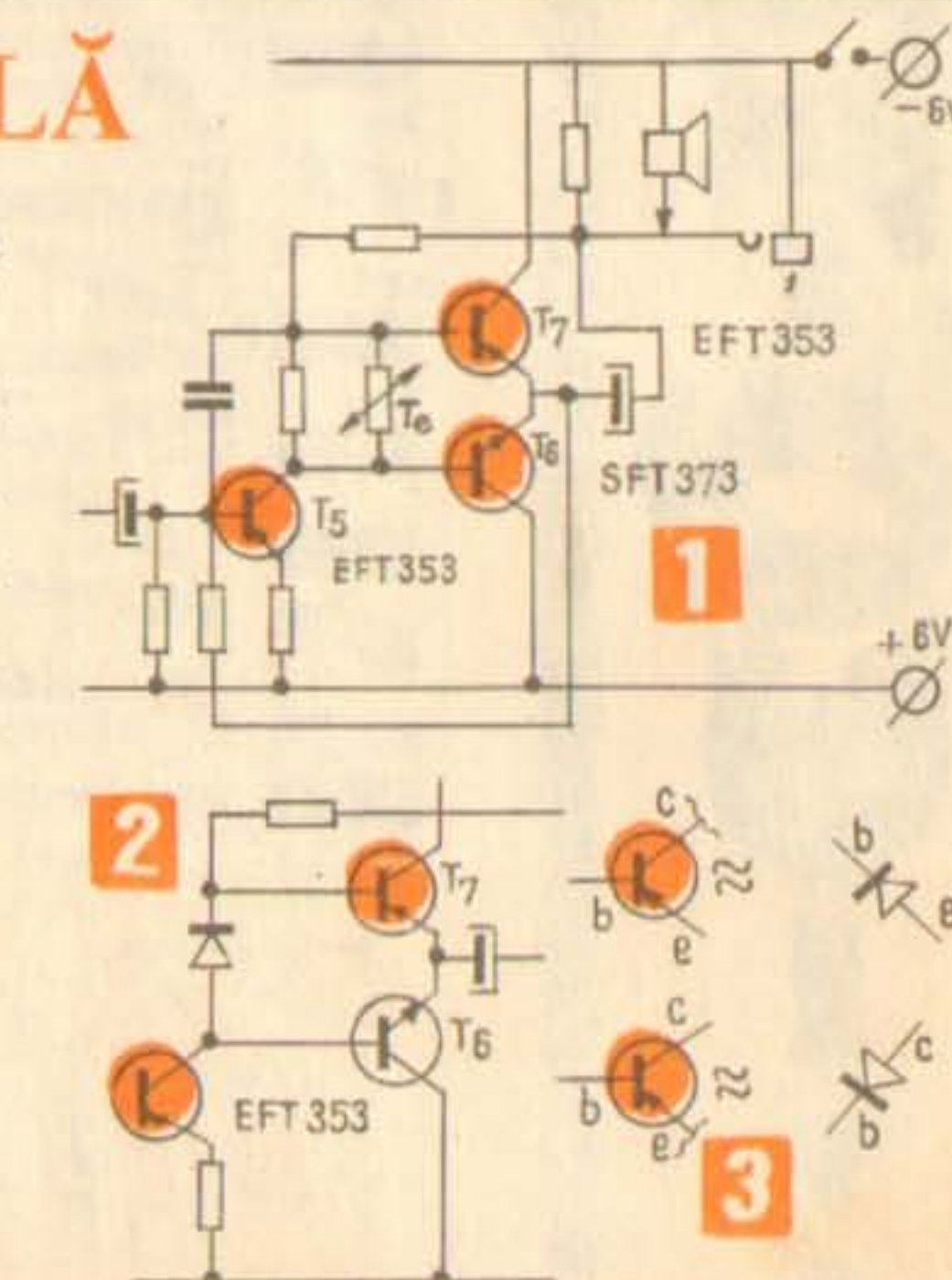
În felul acesta se ajunge la un consum de curent suplimentar, care duce la epuizarea prematură a sursei de alimentare sau la distrugerea tranzistorului etajului final.

Aceste neajunsuri pot fi înălțate; dacă grupul rezistență și Te se înlocuiesc cu o diodă cu jonejune cu germaniu, montată ca în figura 2.

În locul diodei se poate folosi un tranzistor defect, care are o joncțiune în stare bună.

Sensul de montare se poate vedea în figura 3.

Montarea unei diode între bazele tranzistoarelor T6 și T7 asigură și o tensiune mai stabilă la epuizarea sursei de alimentare.



... -CQ-YO ... -CQ

# EMITĂTOR TRANZİSTORIZAT PENTRU BANDA DE 144 MHz

Ing. GEORGE PINTILIE - Y03AVE

Pentru deplasări în sporiabilă sau urmărire este suficient să fie echipat cu un emittor de circa 3-4 W care să se alimenteze de la o sură de tensiune scăzută (baterie).

Emittorul prezentat în fig. 1 conține numai patru tranzistoare (cu excepția modulatorului). Oscilatorul ( $T_1$ ) este executat în montaj Overton și asigură funcționarea pe una din armonicele impare (resonanțe) ale cristalelor. Montajul a fost realizat în două variante, folosind un cristal cuprinzător de frecvențe 14,4 MHz și 14,6 MHz, sau unul cuprinzător între 16 MHz și 16,2 MHz.

In prima variantă, circuitul  $L_1 C_1$  s-a acordat pe armonica a 5-a adică 72 MHz, tranzistorul  $T_1$  functioning în regim de dublare.

In varianța a 2-a, cind s-a folosit un cristal cuprinzător în limitele 16-16,2 MHz (în cazul meu 16,075 MHz), circuitul  $L_1 C_1$  s-a acordat pe armonica a 3-a, adică 48 MHz, iar tranzistorul  $T_1$  a fost folosit ca tripler.

Datorită în etajul dublor a fost folosit un tranzistor cu frecvența de tranziție ridicată, s-a obținut un randament ridicat al acestui etaj multiplicator de frecvență.

Eteajele  $T_2$  și  $T_3$  sunt amplificatoare pe frecvență de 144 MHz.

Deoarece la lăsire este folosit un circuit gama de adaptare cu antena, s-a obținut un bun transfer de energie în antenă. La o tensiune de alimentare de 12,5 V etajul final trebuie să consume un curent de colector de 270-300 mA, iar la capătul unei bucati de cablu coaxial de 15 m să se obțină o putere utilă de circa 2,2 W.

În cazul în care se folosește un tranzistor de tipul 2N 2219 în etajul 3 ( $T_3$ ), se va renunța la rezistența de 10 ohmi din circuitul emitorului lui  $T_3$  și la cea de 2 ohmi a lui  $T_4$ .

Dioda stabilizatoare Z 12 în serie cu dioda D (orică tip), asigură protejarea etajelor modulate ( $T_3$  și  $T_4$ ) de o eventuală supramodulare.

Nu folosiți emittorul fără această protecție pentru că riscă să deterioră unul din tranzistoarele supuse modulației ( $T_3$  și  $T_4$ ).

Modulatorul este clasic și nu necesită explicații speciale. Rezistențele însemnată cu steletoane nF se asestă incă valoarea corectă de repaus al tranzistoarelor respective și nu în limitele celor menționate pe schema (în regim fără semnal la intrare).

Transformatorul  $T_4$  (defazor) este de tipul celor folosite la receptoarele «Mamaia» (sau de la oricare alt receptor similar).

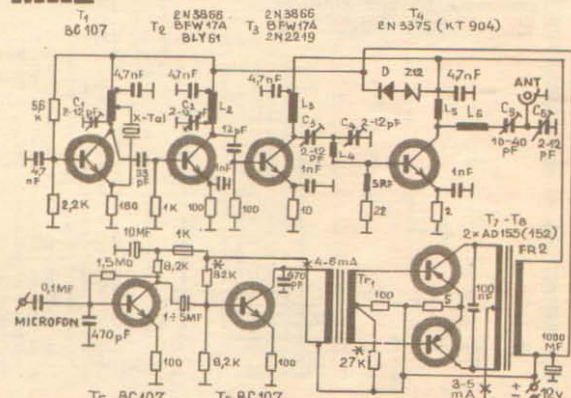
Transformatorul  $T_5$  are secțiunea de 2 cm<sup>2</sup> (cu înălțime de 0,2 mm) și conține în primar  $2 \times 100$  de spire, iar în secundar  $150$  de spire de conductor din cupru emaliat, cu diametrul de 0,41 mm (cu izolație).

Datele înfășurărilor inductanțelor sunt prezentate în tabel.

Toate bobinile sunt fără mizeuri magnetice.

In locul condensatoarelor de decuplare, de 4,7 pF, din circuitul colectoarelor se poate folosi orice fel de condensator ceramic placătă, cu capacitatea cuprinzătoră între 1-10 nF.

In cazul în care se folosește cristal de 16 MHz, deci atunci cind circuitul  $L_1 C_1$  trebuie acordat pe frecvența de



48 MHz, pe condensatorul trimer  $C_1$  se va conecta o capacitate de 33 pF în paralel. Fără această capacitate, circuitul  $L_1 C_1$  se poate acorda pe frecvența de 72 MHz.

Toate condensatoarele trimer (cu excepția lui  $C_1$ ) sunt produse de I.P.R.S. Bâneasa, cu valoarea de 2-12 pF. Condensatorul  $C_2$  are valoarea de 10-40 pF.

In etajul final al modulatorului au fost folosite tranzistoare de tipul AD 155 sau AD 152, pentru a nu mai fi nevoie de montaj radioatoare. In lipsa acestora,

se pot folosi și alte tranzistoare finale care să permită obținerea unei puteri de 1-1,5 W. In acest caz va fi nevoie de montaj radioatoare (de exemplu, cind se va folosi tranzistorul din clasa AC 180 sau AC 184).

Dacă se vor folosi un microfon dinamic, iar tonul modulației se va obține infundat, rezistențele din circuitul emitorilor tranzistoarelor  $T_1$  și  $T_2$  se vor sunta cu condensatoarele de valoare 0,5-1 MF, în scopul ridicării gradului de amplificare a frecvențelor înalte.

## MODIFICAREA UNUI BLOC UUS

T. DUMITRESCU  
Y03BAL

Realizarea unui receptor pentru banda de 2 m rămîne o problemă pe căt de importantă pe altă de dificultă pentru toate categoriile de radioamatori, începători și avansați.

Dacă construcția amplificatorului de frecvență intermedie poate îl mai comod rezolvă, în schimb pentru amplificatorul de radiofrecvență și mixer, lipsa instrumentelor de măsură adecvate îl conduce pe radioamatori la găsirea altor soluții.

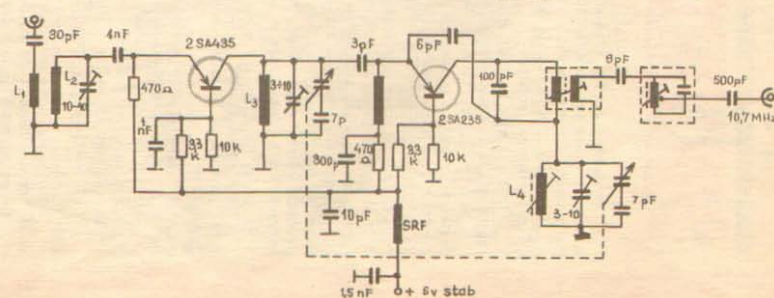
O astfel de rezolvare se găsește concretizată în modificarea unui bloc U.K.W. de la radioreceptoarele profesionale.

Cel mai adecvat și mai comod de modificat este blocul U.K.W. cu care este echipat radioreceptorul «Mamaia».

Alăturat este prezentat un bloc modificat la care s-a efectuat următoarele operații: se înlocuiesc bobinele  $L_1$  și  $L_2$ . Împreună cu condensatorul său de acord de 50 pF. Noua bobină  $L_1$  are 1 spire din Cu-Em.

6,035 mm, iar bobina  $L_2$  are 3,75 spire din sîrma Cu-Ag, 0,6 mm, cu pas de 1 mm. Carcasă este de la blocul U.K.W. al radioreceptoarelor «Neptun». Condensatorul de acord al bobinei  $L_1$  va avea 10-40 pF. Bobina  $L_2$ , cu număr de cod 8 036, rămîne intactă, se scoate doar miezul de ferită. La fel și bobina  $L_3$ .

Condensatorul de la bobina  $L_3$  (35 pF) și de la bobina  $L_4$  (30 pF) se scot din circuit, și în serie cu condensatorul variabil se montează cîte un condensator de 7 pF, de preferat culoare albăstră, pentru a se realize o compensație termică. Banda de frecvență acoperită în acest mod este cuprinsă între 193,5 și 145,6 MHz.



Condensatorul variabil este cel folosit în radio-receptoarea «Oberon». Din acest condensator se scoțe 3 lamele.

Dioda  $D_1$  din montajul original se exclude din circuit. Contactele de masă ale condensatorului variabil se lipesc direct pe circuitul imprimat.

Acordul final se realizează cu un grid-dip-metru, astfel că  $L_4$  este acordat pe 144 MHz,  $L_2$  pe 145 MHz,  $L_4$  pe 134,4 MHz. Transformatoarele  $T_1$  și  $T_2$  rămîn acordate pe 10,7 MHz.

Cind se cuplăza antena, se va verifica modul cum este recepționată, radiobiliza Y03KAA ce emite pe frecvența de 145,9 MHz.

## EMITATOR PORTABIL

YO3CO

Radioamatorilor care lucrează în banda de 2 m le prezentăm construcția unui emițător de mică putere, destinat să lucreze cu modulație de frecvență F<sub>s</sub>.

Schela emițătorului prezentată în fig. 1 este deosebit de simplă prin faptul că utilizează doar două tranzistoare.

Semnalul de la microfon (microfon piezoelectric) este amplificat de primul etaj, echipat cu tranzistorul T<sub>1</sub> de tip AC 128 sau echivalent.

Rezistența R<sub>4</sub> din acest etaj asigură stabilitatea termică a etajului.

Tranzistorul T<sub>2</sub> (AF 124) formează etajul de radiofrecvență și este montat cu baza la masă prin intermediul condensatorului

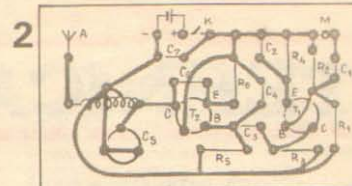
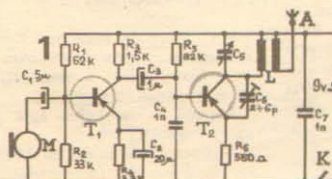
C<sub>4</sub> de 1 nF. Din condensatorul C<sub>6</sub> (trimer sau fix, de 5 pF) se asigură intrarea etajului în oscilație.

Acordul pe frecvență, deci în banda de 2 m, se face din condensatorul C<sub>5</sub>.

Modularea în frecvență se face prin modificarea polarizării bazei, datorită semnalului de joasă frecvență, transmis prin condensatorul C<sub>3</sub>.

In fond, această variație de polarizare se traduce printr-o variație a capacității interne a tranzistorului T<sub>2</sub>.

Bobina L se confectionează din sârmă Cu-Em Ø 0,6 mm și are un număr de 7 spire.



Bobinajul se face în aer, diametrul fiind de 6 mm, iar lungimea de 10,5 mm.

De remarcat că la spira 3,5, deci la jumătatea bobinei, se ia priza. Deci jumătate din bobină apare în circuitul oscillator, iar jumătate pentru cuplajul cu antena.

Intregul montaj se va face pe circuit imprimat (fig. 2), iar apoi totul se introduce într-o cutie metalică. În cutie se lasă un orificiu prin care se reglează C<sub>5</sub> pentru acordul exact în bandă. Aparatul se alimentează dintr-o baterie de 9 V, consumul fiind aproximativ 3,5-4 mA.

## GENERATOR DE SEMNALE

În cazul în care suntem în posesia unui cristal la care una (îndiferent care) din armonici (a 8-a, a 21-a etc.) este cuprinsă în banda de radioamator de 144-146 MHz, putem construi generatorul prezentat în fig. 1.

Oscilatorul cu cristal este executat cu ajutorul tranzistorului T<sub>1</sub> în montaj cu cuplaj capacitive între bază și emitor. În circuitul de colector se află un circuit acordat pe frecvența de 145 MHz.

Tranzistorul T<sub>2</sub> îndeplinește funcția de oscillator de frecvență audio și de modulator al generatorului. Frecvența acestuia se reglează acționând asupra valorii condensatorului conectat în paralel pe înălțărea rădăcină primă a transformatorului de modulație (în schemă are 10 nF).

Transformatorul TR este de tipul celor folosite în etajele finale ale receptorilor tranzistorizati (montaj în contratimp). În cazul în care dorim să avem o modulație mai aparte, se recomandă montajul din fig. 2.

Tranzistoarele T<sub>3</sub> și T<sub>4</sub> formează un circuit basculant astabil (multivibrator), cu o frecvență de repetiție de circa 1 Hz. Acest multivibrator comandă schimbarea frecvenței

de oscilație a tranzistorului T<sub>2</sub> în tactul frecvenței multivibratorului, care, în final, conduce la obținerea unui semnal audio asemănător cu cel produs de mașinile salvării sau ale militiei circulației. Această faptă conduce la «recunoașterea» ușoară a proprietății semnale.

Generatorul produce un semnal de putere de RF de circa 2-10 mW, semnal suficient de mare pentru a fi sesizat de un receptor de radioamator de la o distanță de cîțiva metri. În cazul radiofrequoceptorului sensibil, distanța este de 20-40 m.

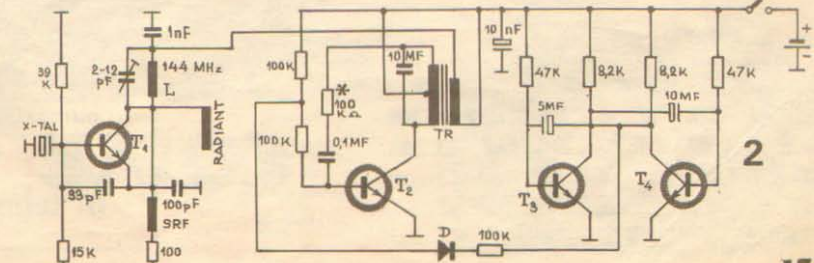
Semnalul de radiofrecvență emis este modulat simultan în frecvență și amplitudine. Deoarece oscillatorul

este pilotat cu cristal, deviația de frecvență obținută este mică. Acest generator de semnale este foarte util în reglarea receptoarelor. În cazul în care avem cristal a cărui frecvență este mai mică de 4-5 MHz, va fi nevoie să mărim capacitatea de 33 pF dintre baza și emitorul lui T<sub>1</sub>, precum și cea de 100 pF care suntă emitorul lui T<sub>1</sub>. Scolul de radiofrecvență (SRF) trebuie să conțină cel puțin 100 de spire. Trebuie avut în vedere că acest scol să constituie o impedanță de cel puțin 1-3 kΩ la frecvența fundamentală a cristalului. De obicei, în „cutia

cu piese diverse» a fiecărui radioamator se găsesc, de regulă, și transformatoare de frecvență intermedie de 470 kHz, de la un receptor cu tuburi «demolata». O secțiune de la un asemenea trafa de FI, bobinată figura, va fi un soc excelent. Inductanța L conține 4 spire de conductor din cupru emailat, cu diametru de 0,8-1 mm, iar diametrul înălțării de 6 mm, cu patru spire de 1 mm. Radiantul (antena) este executat dintr-o bucată de sârmă (aceeași ca la bobină), de lungime 10 cm, montată vertical.

Toate tranzistoarele folosite sunt de tipul BC 107.

Acest generator, în ultimă instanță, se poate folosi și ca incercător de cristale.



# FOTO

# TEHNICA

## B. — METODA INTERFERENȚIALĂ

Metoda a fost imaginată de fizicianul francez Lippmann în 1891 și constă în următoarele:

O placă acoperită cu o emulsie, avind o granulație extrem de fină, se aşază în contact cu o suprafață de mercur (contactul se face pe partea cu emulsie). Placa este apoi expusă pe parte de dinspre sticlă (deci prin suport), într-un aparat fotografic. Razele de lumină care pătrund prin emulsie sunt reflectate de suprafața mercurului ce funcționează ca o oglindă. Razele reflectate interferează cu razele incidente, dând naștere unor maxime și unor minime luminoase.

Placa developată prezintă în grosimea sa o serie de straturi de argint metalic, de grosimi egale cu lungimea de undă a luminii incidente. Această imagine examinată prin reflexie apare în culori naturale datorită unui fenomen de irizare, straturile de argint funcționând ca o rețea de interferență. Dezavantajele metodei constau în sensibilitatea foarte mică a emulsiei folosite, și deci necesitatea folosirii unor tempi de expunere foarte lungi, și în faptul că imaginea rezultată poate fi privată numai dintr-un anumit unghi.

Trebuie remarcat însă că această metodă asigură cea mai fidelă redare a colorilor dintre toate procedeele de fotografie color cunoscute pînă astăzi.

## D. — PROCEDEUL CU MOZAIC COLORAT

Asemănător cu metoda cu mozaic tricromatic, cu deosebirea că selecția luminii este făcută de granule de amidon sau răsină, colorate în roșu, verde și albastru.

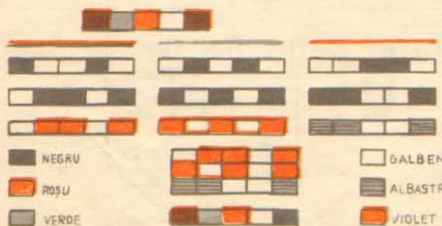
## E. — PROCEDEUL PIGMENTAR

Imaginea în culori se fotografiază prin filtrele albastru, verde și roșu, pe trei filme pancromatice alb-negru. Deoarece filtrele colorate selectează din lumina albă radiațiile cu aceeași culoare ca și lor, negativele obținute prin aceste filtre se numesc negative de selecție. Negativele de selecție se copiază pe film alb-negru, rezultînd pozitivele de selecție.

Fiecare pozitiv se colorează în culoarea complementară filtrului de selecție.

Prin suprapunerea celor trei pozitive astfel colorate se obține o imagine în culori asemănătoare originalului (fig. 3).

Reproducerea colorilor se face, deci, prin procedeul subtractiv.



# PRIMELE PROCEDEE DE FOTOGRAFIE COLOR

## A. — METODA BECQUEREL

Ing. CORNELIU COTERBIC

În anul 1850, savantul francez Becquerel a observat că o emulsie de cloruri de argint, expusă timp îndelungat la radiații cu lungimi de undă diferite, se coloră în mod diferit. Astfel, radiația albastră coloră emulsia în albastru, cea verde în galben și cea violetă în violet.

Metoda nu prezintă nici o importanță practică, deoarece imaginile erau slabe și nu puteau fi fixate.

## C. — METODA CU MOZAIC TRICROMATIC

Un suport de sticlă sau film fotografic se acoperă cu o rețea geometrică cu linii alternante (roșii, verzi și albastre), care formau patrate elementare (fig. 2).

Rețeaua se acoperă apoi cu o emulsie pancromatică\*.

Lățimea unei linii era de 0,025 mm. Rețeaua era suficient de transparentă, astfel încît la lumina zilei se putea folosi un timp de expunere rezonabil (1/100 s).

Placa sau filmul se expune prin suport; radiațiile primite vor fi selecționate de rețea după culorile de bază. Razele roșii, de exemplu, sunt oprite de elementele albastre și verzi și sunt transmise de elementele roșii ale rețelei. Numai aceste radiații pot impriună emulsia și numai în locurile unde se află elementele roșii ale rețelei.

Placa developată, care dă imaginea negativă, va deci înnegrită în locurile unde a acționat lumina roșie, iar pozitivul va apărea transparent în această regiune. Cind placa este transparentă și pentru elementele roșii și pentru cele verzi, prin adiția acestor culori, imaginea va părea galbenă.

Să observăm, deci, că avem de-a face cu o reproducere a colorilor prin **metoda aditivă**.

\* Emulsie fotografică sensibilă la cele trei radiații principale: albastru, verde și roșu.

## F. — PROCEDEUL PRIN TRANSFER

Este asemănător procedeului pigmentar, la fel ca în acesta obținindu-se mai întîi negative de selecție și după acestea — pozitive de selecție. Gelatina pozitivelor de selecție tratată cu săruri de crom ușurează îmbibarea acestora cu soluții de colorant.

După colorare, pozitivele se pun pe rînd în contact cu o hîrtie gelatinată (hîrtie de transfer), pe care vor difuza coloranții.

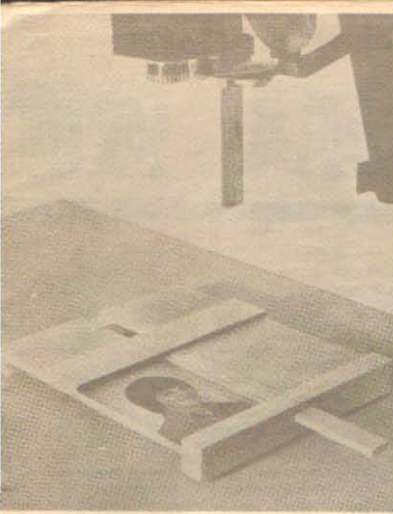
Procedeul se mai folosește și astăzi, mai ales în S.U.A., sub denumirea de «dye transfer», cu deosebirea că pozitivele de selecție se obțin după un negativ în culori.

Metoda are avantajul că permite o modificare parțială a echilibrului cromatic, lucru care nu este posibil la metoda folosită cu precădere astăzi, metoda emulsilor cu straturi suprapuse.

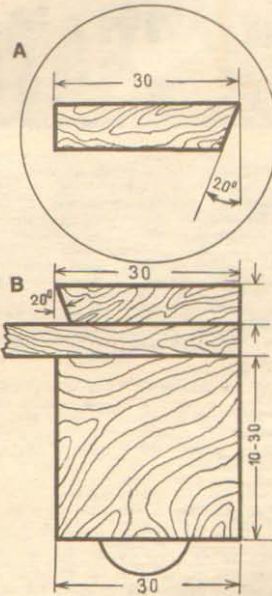
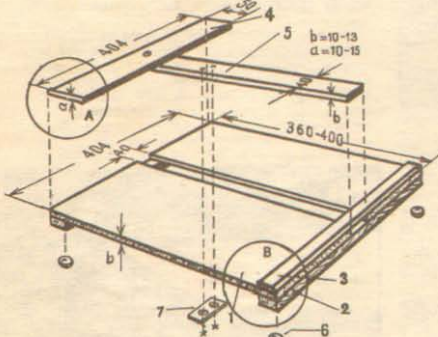
Dar despre aceasta, în numărul viitor.

În numărul viitor:

**FILTRELE**  
**în tehnica alb-negru!**



# MASĂ PENTRU MĂRIT



Există fotoamatori care preferă să-și facă foto-fotoale fără marginea albă uzuale. Pentru acești fotoamatori, ca și pentru cei ce ocasional vor dori să renunte la marginea albă, dăm în cele ce urmează construcția unei mese de mărit fără cadre.

Utilizarea unei mese de mărit decurge din nevoiea de a menține plată hîrtia foto, care are în mod normal tendința de a se curba.

Fotografia ce o publicăm prezintă în mod sugestiv construcția propusă. Dimensiunile corespund fixării a două hîrtii de format maxim, 18×24 cm.

Masa de mărit comportă o placă de bază dublă (1), așezată pe două terminală (2) pătrate, cu mici puferi (6) de cauciuc sau de masă plastică, lipite de partea inferioară.

Materialul de construcție este lemnul. Pentru placă propriu-zisă se folosește panel sau placă de material lemnos aglomerat.

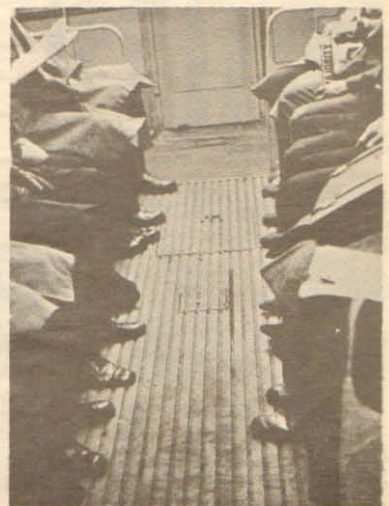
Îmbinările se realizează prin lipire (clei de timplatie sau aracet), cu holzsuruburi sau combinat.

Coala de hîrtie se sprinjă cu un capăt de marginea reperului (3) și de celălalt reperului (4) din punerea «T»-ului mobil.

«T»-ul se prinde în punctul de cruce cu un surub. Pentru a nu ieși din canalul de ghidare, «T»-ul se fixează cu reperul (7) din tablă cu două holzsuruburi sau chiar suruburi cu piuliță. Pentru acest reper nu s-au dat cote, ele rezultând cu ușurință construcției, după realizarea restului construcției.

Suprafața superioară se vopsește în alb mat pentru a permite reglarea imaginii în condiții căt mai bune. Restul mesei de mărit se vopsește în negru pentru a evita reflexele nedoreite.

Construcția este simplă, se realizează în timp scurt, la un preț de cost redus.



# DEPANAREA AU

## CU... SAU FĂRĂ FARURI DE CEATĂ

Ing. A. MUŞATESCU

Ne aflăm în anotimpul în care ceață — acest nemodit și redutabil inamic al automobilistilor — apare frecvent.

Pe ceată vizibilitatea se înrăutățește mult, iar capacitate de orientare a omului scade. Mai mult decât atât, dacă observatorul se află în mișcare, s-a constatat că apare și o înrăutățire a capacitații sale de a aprecia distanțele, precum și poziționarea unghiulară a diverselor obiecte din spațiul înconjurător. Acestea explică creșterea frecvenței accidentelor pe timp ceatos și totodată necesitatea de a reduce viteza de circulație și de sporire a atenției.

În aceste condiții, reglarea instalațiilor de iluminare sau prezența farurilor de ceată capătă o importanță capitală pe timpul noptii și chiar de zilei.

Instalațiile de iluminare convenționale par a nu îmbunătăți cu nimic vizibilitatea de circulație pe timpul noptilor ceatoase. Apriinderea fazelor lungi ridică în față automobilei un val lăptos, dens, dincolo de care nu se mai vede nimic. Schimbarea fazelor scurte pare a nu îmbunătăți sensibil situația și, în mod paradoxal, vizibilitatea pare cea mai bună cind se circulă fără lumini. În această situație, automobilul propriu devine vizibil în trafic doar de la distanțe care nu mai pot evita accidentul.

Apare, prin urmare, necesitatea unei iluminări speciale a drumului pe timp de ceată. Dar cum?

Există părere foarte răspîndită că proiectoarele cu lumină galbenă ar reprezenta soluția ideală pentru mărirea vizibilității pe timp de ceată. Această idee pare să aibă la bază o anumită legătură între lungimea de undă a luminii galbene și dimensiunile particulelor de apă aflate în suspensie în aer. Dar chiar dacă ar fi așa, nu trebuie să se piardă din ve-

dere că ceață nu are o structură omogenă nici în timp, nici în spațiu și deci cu o lumină de aceeași lungime de undă nu se poate asigura totdeauna o vizibilitate optimă. Cert este că cercetările efectuate în acest sens au arătat că lungimea de undă a radiatiei luminoase nu influențează hotărîtor vizibilitatea pe timp ceatos. Aceleași experimentări au arătat că, de fapt, esențialul farurilor anticeată constă în modul de placere și în reglajul lor.

Lucrul acesta devine foarte împedimentat dacă se observă că, cu cîțiva prelucrări observatorului este săliță să străbată un strat cetos luminat, de grosime mai mare pînă la obiectul observat, cu atît vizibilitatea este mai prostă.

Iată, de pildă, în fig. 1a se vede că atunci cînd farul este așezat sus, privirea soferului trebuie să străbată pînă la obiectul 0 pe de drum distanța luminată AO. Aceasta este cu mult mai mare decît distanța luminată BO în cazul în care farul este plasat mai jos (fig. 1b). Se vede deci că stratul de ceată luminat în primul caz este mai mare, fapt care înrăutățește vizibilitatea, deoarece cu cît stratul de ceată luminat este mai gros și mai înalt cu atît profunzimea spațiului vizibil se reduce.

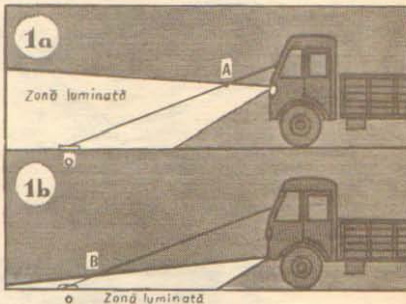
Din acestea apar împedimente că cu cît un far este plasat mai jos, cu atât el va ilumină mai bine pe timp ceatos. Însă nici coborîrea sub 40–50 cm de la sol nu este recomandabilă, deoarece sub această limită nu se mai observă o îmbunătățire notabilă a vizibilității, dar se creează niște efecte optice îngălătoare asupra conducătorilor care circulă din sens contrar. Acestora li se pare că drumul este în pantă, iar distanța între mașini este de două trei ori mai mare decît în realitate. De aceea înălțimea la care trebuie să fie montate farurile de ceată este de

40–100 cm de la sol, în funcție de tipul autovehiculului.

Pe altă parte, grosimea stratului cețos luminat mai depinde și de unghiul de inclinare a proiecto- rului. Că este așa, ne putem convinge cu multă ușurință. Nu avem decît să ridicăm cu 1–2 grade linia de reglaj a unor faruri de ceată și vom observa că efectul optim de iluminare existent mai înainte a disperăut complet, farul se comportă pe ceată ca un proiecto banal, orbind conducătorul ce vin din față pe timp obisnuit și formind pe ceată cunoșcuta perdeea mată.

Inclinarea de reglaj a farurilor de ceată trebuie să se realizeze cu multă grijă. Dacă un atelier de specialitate nu ne stă imediat la indemnă atunci, în funcție de distanța de montare față de sol, vom regla farul, plasând automobilelul pe un sol orizontal, la zece metri de un zid vertical. Centrul petei luminoase formate de far pe zid trebuie să se afle mai jos de nivelul centrului farului cu următoarele distanțe:

Distanța de la centrul petei luminoase la nivelul centrului farului (cm)	(cm)
40–60	15
60–80	20
80–100	25



## PRACTIC



Imobilizați cu mașina în mijlocul drumului din cauza unei defectiuni ivite sau presupuse — la sistemul de direcție fuzete, diferențial etc. — asistența tehnică, respectiv remedierea, devine o problemă dificilă.

Orele de așteptare pentru transportul autoturismului la stația service pot fi eliminate dacă confectionăm accesoriile din fotografările alăturate.

Pe o bucată de profil U sănt mon-

tate două axe și pe fiecare ax cîte două roți.

Pentru montarea dispozitivului la roată, axul dispozitivului se fixează ca în fotografia 1, deci cu un levier se roteste axul și se rigidizează cu un șurub.

După ce dispozitivele au fost montate la cele patru roți, deplasarea autoturismului în orice direcție prin împingere nu mai constituie niciun dificil.

# TO DE LA A LAZ

Dacă ne aflăm în drum și nu există nici această posibilitate de reglare, atunci pur și simplu se va inclina farul în jos pînă cind centrul petei luminoase ajunge la o distanță de 20-25 m de automobil.

Că vizibilitatea pe timp cețos, noaptea, depinde mai puțin de calitatea proiectoarelor și mai mult de plasarea și reglajul său ne putem convinge din fotografie din fig. 2. Fig. 2a arată cum se vede drumul cu ajutorul farurilor normale, iar fig. 2b același decor privit folosind faruri de aceeași calitate, dar plasate după cum s-a recomandat mai înainte. Rezultă împedire că în al doilea caz, dispărind "zidul" lăptos, vizibilitatea este net superioară. Așadar, știm ce este un far de ceată și cum se reglează (aproximativ). Este însă foarte important să se stie și cum se folosesc farurile de ceată în diverse condiții meteorologice împreună cu farurile normale.

Cele mai reale condiții sunt într-unul atunci când noaptea pe ninsoroare densă se produce ceată groasă, cind vizibilitatea cu faza scurtă nu întrece 10 metri. În acest caz se vor folosi în exclusivitate farurile de ceată.

Cind ceata are o densitate medie și plouă puternic, astfel încât vizibilitatea cu faza lungă începe să formeze în față automobilului cunoscutul zid mat, se vor folosi simultan faruri de ceată și faza scurtă.

In sfîrșit, pe timp de noapte cu ceată slabă și ploioasă, care permit vizibilitatea cu faza lungă pînă la 100 metri, se vor folosi concomitent farurile de ceată și cele normale, avînd grija ca la înfășuirea cu alte vehicule farurile de ceată să fie stinse și să se comute faza scurtă.

Se mai pune o întrebare: farurile de ceată pot fi folosite și ziua sau în acest caz trebuie să se utilizeze numai farurile normale?

Experiența arată că pe timp cețos ziau efectele celor două tipuri de proiectoare se inversează, contrar părerii obisnuite. Ziua, farurile normale, chiar cu fază lungă, nu pot nici să înrăutățească, nici să îmbunătățească vizibilitatea, deoarece lumina zilei este de cîteva ori mai puternică decît cea dată de faruri. Ceea ce aduce însă apărirea fazei lungi este o mai bună marcare a poziției vehiculului propriu, deci o măsură de evitare a coliziunilor, fără ca prin aceasta să fie jenată privirea celor ce vin din sens opus, așa cum s-ar întîmpla noaptea.

Experiente făcute pe timp cu ceată de densitate medie au arătat că un vehicul devine vizibil de la 50-55 metri dacă circulă cu farurile de ceată și de la



cînd este conectată faza lungă a farurilor normale.

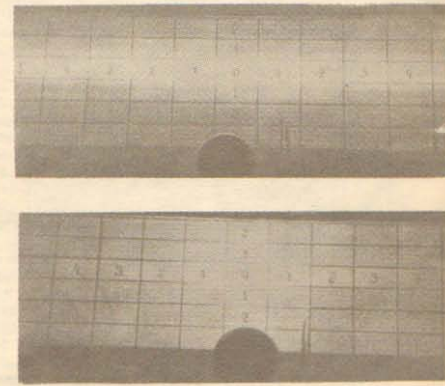
Îată de ce în timpul zilelor cețoase se recomandă să se circule nu cu farurile de ceată, ci cu faza lungă a farurilor normale, care poate fi stinse numai cind s-a ajuns foarte aproape de vehiculele care circulă din sens contrar.

Dar farurile de ceată pot fi folosite și în alte împrejurări decît pe ceată, datorită faptului că ele ilumină cîmpul de observare al soferului mai uniform și pe o lungime mai mare (fig. 3a) decît o faruri normale (fig. 3b). Ele ilumină mai generos marginile drumului și nu obresc la un regaj corect. Rezultă că aceste faruri vor putea fi folosite eficient în capul efectuării virajelor cind cîmpul de observare va putea fi lărgit de 1,5-2 ori fără de folosirea farurilor normale.

O altă situație în care utilizarea farurilor de ceată pe timp clar intervine atunci cind suntem "orbiri" de un vehicul. Dacă imediat după momentul întâl-

nirii, cind s-a produs efectul de "orbire", se aprind farurile de ceată simultan cu farurile normale, s-a constatat că, datorită creșterii bruse a intensității iluminării, vederea se readaptează mai rapid, stabilindu-se operativ observarea eficientă a drumului.

Așadar: cu sau fără faruri de ceată? Argumentele experiențelor pledează pentru. Cu o observație: orice far poate îndeplini funcția anticeată dacă este montat corect; în caz contrar, mai mult strică decît ajută.



**Pagini speciale**  
**„Tehnium“**  
**în almanahul**  
**„Stiință și tehnică“ 1974**

## PENTRU SFATURI AUTOMOBILISTI

Chimist CORNEL M. DUMITRESCU

I. PREPARATE CHIMICE PENTRU AUTOMOBILIȘTI

SOLUȚIE PENTRU A ÎMPEDICA ABURIREA PARBRIZULUI

Intr-un vas de sticlă (borcan de iaurt sau conserve, bîne spălat și uscat) se diluează 200 părți în greutatea alcôvol etilic (spirit alb) cu 40 părți în greutatea apă, apoi se toarnă, agitând bină cu un betisor de lemn, 50 părți în greutatea glicerina. Soluția obținută se trece într-o sticlă ( $\frac{1}{2}$  l), astupindu-se cu un dop pentru a evita evaporarea alcôvolului. Sticla se păstrează în locuri puțin răcoroase ale automobilului, fixindu-se bine pentru ca aceasta să nu se răstoarne. Pentru a evita aburirea parbrizului, acesta se stergă, în interior, cu ajutorul unor mici tamponi de vată, imbibate cu această soluție. Vaporii de apă (aburii) din interiorul automobilului sunt impiedicați de a se depune pe geam de soluție alcôvol-apă-glycerină și, astfel, indiferent de temperatură rece de afară, parbrizul nu se aburește.

### SOLUȚII ANTIGEL

Acesta se utilizează pentru a împiedica înghețarea apelor din sistemul de răcire (radiatoare) al motoroarelor auto. Soluția antigel sau, cum i se mai spune, antigel, reprezintă lichidul de răcire al motoarelor cu ardere internă ce se caracterizează prin un punct de congelare coborât.

Pentru automobile și chiar pentru avioane se utilizează soluții antigel de următoarele tipuri:

a) *Tipul colatil:* apă + etanol (alcôvol etilic). Se vor utiliza concentrații în % greutate etanol: 2,5% pentru  $-11^{\circ}\text{C}$ ; 26,7% pentru  $-16,0^{\circ}\text{C}$ ; 33,8% pentru  $-23,6^{\circ}\text{C}$ ; 46,3% pentru  $-33,9^{\circ}\text{C}$ ; 71,9% pentru  $-51,3^{\circ}\text{C}$ .

b) *Tipul nevolatil:* apă + glicerină și apă + etilenglicol. Pentru soluția antigel apă + glicerină se vor utiliza concentrații în % greutate glicerină: 10% pentru  $-1,6^{\circ}\text{C}$ ; 30% pentru  $-9,5^{\circ}\text{C}$ ; 50% pentru  $-23,0^{\circ}\text{C}$ ; 70% pentru  $-38,9^{\circ}\text{C}$ ; 80% pentru  $-20,3^{\circ}\text{C}$ ; 90% pentru  $-1,6^{\circ}\text{C}$ . Din datele soluției antigel apă + glicerină se observă că există o variație a punctului de îngheț, în funcție de concentrația procentuală a glicerinei, astfel încât aceasta crește spre valori negative ale temperaturii pînă la concentrația de 70% glicerină. Deci, este recomandabil, pentru a obține lichide de răcire bune, să se realizeze apă + etanol de amestecuri încă acestea să nu depășească 70% glicerină.

Pentru soluția antigel apă + etilenglicol se vor utiliza tot concentrații în

procente greutate etilenglicol: 12,5% pentru  $-3,9^{\circ}\text{C}$ ; 25,0% pentru  $-12,2^{\circ}\text{C}$ ; 38,5% pentru  $-23,3^{\circ}\text{C}$ ; 49,0% pentru  $-34,4^{\circ}\text{C}$ ; 52,5% pentru  $-40^{\circ}\text{C}$ .

La toate soluțiile antigel, procentul de etanol, glicerină și etilenglicol li se vor adăuga procente de apă pînă la o suflare. Atenție! Soluția antigel pe bază de etilenglicol este toxică! De aceea manipularea cu acest produs se face cu mare grijă. Pentru a evita scăparea de etilenglicol, radiatoarele vor fi închise etanș. După utilizarea produsului, minile se vor spăla cu săpun și multă apă.

La toate soluțiile antigel se va utiliza, pentru realizarea amestecului, fie apă distilată, fie o apă din care să lipescă sărurile, care se depun sub formă de crustă insolubilă (apă cristalină de izvor sau apă de ploaie). Pentru a evita corozionea metalului din care este confectionată instalația de răcire, se vor utiliza o serie de inhibitori. Astfel, în cazul cind metalul este fier, se vor adăuga mici cantități de substanțe bazice ca: hidroxid de sodiu (sodă de rufe), hidroxid de calciu (var. stins), precum și o serie de substanțe coloidale de natură organică.

Soluțiile de antigel se vor introduce conform instrucțiunilor automobilelor, adică după golirea, curățarea și spălarea instalațiilor de răcire.



# construiți-vă O GIMNAPEU SIMPLĂ

Considerați reușită canapeaua din figură? Vă place linia ei simplă, modernă? V-ar fi necesară în apartamentul dumneavoastră? Dacă răspunsul este afirmativ, nu mai rămâne decât să o realizezi urmărind indicațiile din rindurile noastre.

Părțile constitutive sunt ușor de remarcat în fig. 2. O placă de fund se sprijină pe doi suporti, fiind mărginită la extremități de două plăci laterale, profilate. Cu ajutorul a patru stînghi se realizează structura spătarului. Pernele trebuie realizate de un tapiter. Ele pot fi sase, ca în figură, sau mai puține, două sau patru, desigur cu modificările dimensionale cuvenite.

Mai simplu se pot face din burete pentru mobilier, îmbrăcind în stofă niște bucăți dimensionate corespunzător.

Materialul lemnos recomandat este panelul (grosime 20-30 mm). Se poate folosi și o placă de lemn aglomerat, dar în această situație finisajul este mai greoi.

Figura 3 redă modul cel mai economic de plasare a părților componente pe o placă de dimensiuni mari. Forma exactă, precum și mărimea fiecărui element se obțin pe baza figurii 4, prin desenare la scară. Dimensiunile date pot fi

respectate sau nu; oricum, abateri prea mari nu sint de dorit.

Stînghile care formează spătarul se pun în locașurile lor ( $20 \times 20$  mm) și se fixează prin lipire, cu șuruburi sau combinat.

Restul părților componente se asamblează prin inkleiere și asigurare cu șuruburi.

Cantul părților componente va avea un aspect inestetic, indiferent de felul materialului (panel, P.F.L., scindură simplă). Se recomandă lipirea cu aracă sau prenădează a unor fizii de furnir. Altfel, se poate chitui și slefuie, după care se va finisa funcție de procedeul utilizat pentru fețe.

Finisarea se poate face în multiple feluri. Se poate păstra aspectul natural al lemnului mat sau lucios (în care caz se lăcusește). Prin bătăjire, se pot obține culoarea și nuanța dorită, funcție de restul mobilierului sau numai funcție de gustul dumneavoastră.

O altă posibilitate constă în vopșire. Etapele presupuse de o astfel de operatie au fost prezentate în paginile revistei noastre.

Dacă dorim mobilitate pentru canapea, îi vom monta patru role speciale pentru mobilier.

Și acum, spor la treabă!

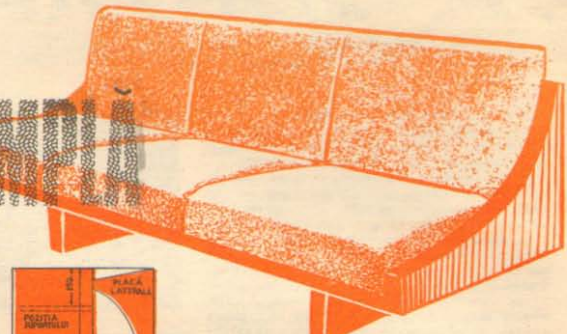
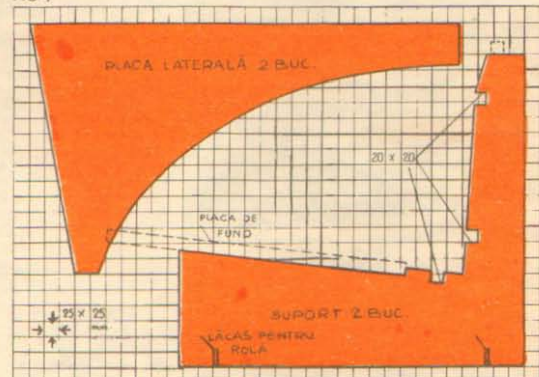


Fig.3



2

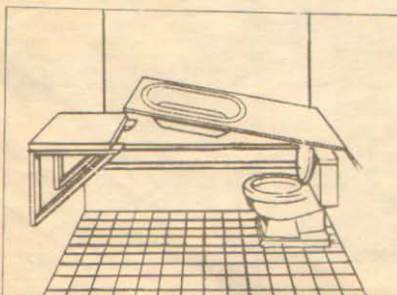
FIG.4



## În numărul viitor:

**Sugestii  
pentru mobilarea apartamentului  
primită de la cititorii revistei !**

## BATE PENTRU COPII



După cum se vede din fotografiiile alăturate, cu puțină muncă se poate confectiona pentru copil o baie foarte practică.

Într-un suport de P.F.L. se decupează o porțiune în care se introduce cada de plastic cumpărată din comerț.

Suportul de P.F.L., la un capăt, este

prins de zid cu o balama, ca atunci cind baia nu este folosită să se poată rabate în plan vertical și lipi de zid, răminind spațiu disponibil. Pe celălalt perete se confectionează un alt suport. În locul acestuia suport poate fi utilizat un scaun sau chiar se poate face un picior rabatabil.

# CONFORȚ CASNIC

## MOBILAREA ANTREULUI

Ceea ce este important și trebuie spus de la început este că mobilarea, aranjarea antreului se fac astfel încât acesta să se incadreze unitar cu restul apartamentului.

Într-un interior modern, mobilat cu fantezie și eleganță, antreu trebuie să dea o senzație de dejagare, de căldură, care să marcheze plăcut trecerea de afară înăuntru.

Un interior foarte sobru este și pretențios. O discordanță eventuală lesează imediat în evidență, în general defavorabil.

Mobilierul obligatoriu, ca să spunem așa, pe care-l presupune un antreu este restrins. Un cuier, o oglindă, un sertar sau mic răftuleț, unde să existe cîteva perii necesare curățării îmbrăcămintei, și cel puțin un taburet necesar schimbării încălțămintei.

Pereții sint tapizați asemănător sau nu cu restul camerelor din locuință, dar, în orice caz, este de dorință ca impresia provocată de culoare sau model să nu fie puternică. De aceea se vor evita culorile vii sau modelele mari ce ies ușor în evidență. Se vor adopta fie culori deschise, pastelate, fie culori închise, dar, oricum, este preferabil să se renunțe la vreun model făcut prin roluire.

O modalitate elegantă de reunire a oglindii și a unui mic sertar-roz măsuță într-un ansamblu plasat pe perete. Iluminarea generală a încăperii este completată de cea dată de o lampă cu piatră și cu două becuri. Utilizând o culoare adecvată, construcția se folosește în orice fel de apartamente.

**2** O mobila de perete foarte reușită. Oglinda e încadrată de o ramă de lemn, dispunind de o măsuță. Iluminarea se face de sus. Pe un scaun, în fața acestei oglindă, oricând, la plecare, se poate face un machiaj ușor. O perdeană din material gros acoperă cuierul și un mic raft. Lateral, un dulap nu prea adânc. Totul este conceput modern, elegant și foarte funcțional.

Amenajarea practică a unui colț din antreu. Simplă și funcțională. **3**

**4** Mici dulăpăioare fixate de partea superioară a pereților au rol de depozitare. Rafturile și casetele din colț adăpostesc obiecte de primă nevoie și la intrarea sau ieșirea din apartament. În fața oglindă, iluminarea este asigurată de becuri laterale. Cuierul este mascat de o draperie.

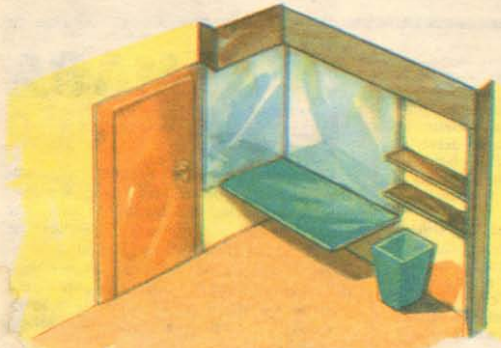
Podeaua antreului se poate prezenta în diverse variante. Parchetul se va lăci sau cerui, dar piatra se ceruiște. Covorul sau mocheta de trecere pot exista sau nu. În orice caz, nu se mochetează complet podeaua antreului dacă în restul camerelor nu s-a apelat la același procedeu.

În condițiile unui apartament de mici dimensiuni, antreu poate fi amenajat neconvențional, pentru a îndeplini și alte funcții. În principiu, se poate construi o mobilă simplă de perete, sau care să afecteze spațiul superior al încăperii și care să permită păstrarea unor obiecte ce nu mai au loc în debăru.

Elementele de mobilier menționate ca necesare pot fi cuprinse în construcții mai ample, cu rol funcțional sau decorativ.

Decorarea antreului cu mici lucrări artistice contribuie la crearea unei ambiante originale. Oricum, numărul acestora trebuie să fie minim, eventual una singură, plasată într-un loc vizibil permanent.

În general, se apelează la lucrări din lemn sau pe lemn, metaloplastici, și uneori din ceramică, mici sculpturi, lemn gravat, lemn pictat, precum și picturi simple în tempera sau acuarelă.



# TEHNIUM pentru TOTI

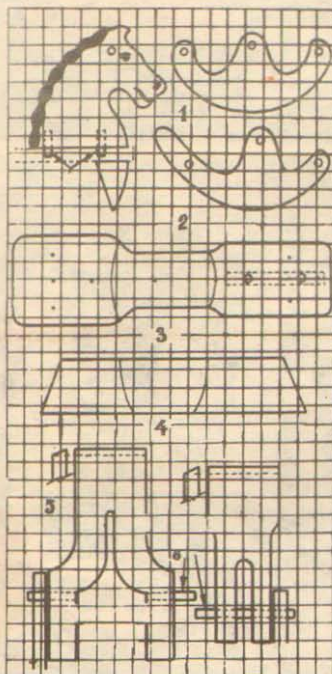
## CĂLUȚ BASCULANT PENTRU COPII

Călăring astfel, nici chiar cel mai tiner călăret nu riscă să se răstoarcă: profilul patinelor de balansare este astfel conceput încât corpul calului rămâne orizontal, chiar cind «galopează» energetic.

Toate piesele se pot mări la dimensiunile dorite după desenul caroiaj, urmând a fi tratate pe placă de P.F.L. de 20 mm grosime. Barele de legătură ori de fixare au diametrul de 10 mm. Acestea joacă, în același timp, rolul de siguranță suplimentară contra depășirii unui anumit grad de balansare; barele extreme ale patinelor se lovesc de picioarele calului, împiedcând rotația completă, deci accidentul.

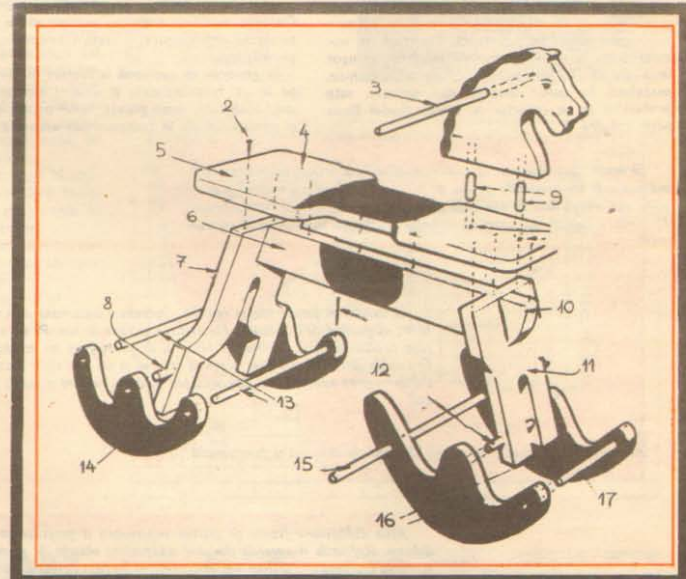
Barele din coada patinei din fată depășesc în lateral patina cu cca 75 mm pe fiecare parte, formând astfel suporturi pentru picioare, și dind astfel posibilitatea «călărețului» să-și conducă calul.

Montajul se face prin înclinare și asigurare cu suruburi de lemn cu lungimea de 45 mm.



1. Patina spate
2. Patina fată
3. Șa
4. Nervură centrală
5. Picior spate
6. Axe, bord  $\phi 10$
7. Picior fată

1. Toată construcția este făcută din placă PFL gros 20;
2. Surub de lemn;
3. Bord  $\phi 10 \times 325$ ;
4. Găuri pentru suruburi;
5. Șa;
6. Nervură centrală;
7. Picior spate;
8. Bord  $\phi 10 \times 70$ ;
9. Bord  $\phi 10 \times 38$ ;
10. Nervură;
11. Picior fată;
12. Bord  $\phi 10 \times 140$ ;
13. Bord  $\phi 10 \times 240$ ;
14. Po-
15. Bord suport picior  $\phi 10 \times 225$ ;
16. Patină fată;
17. Bord  $\phi 10 \times 140$ .



## RETETE UTILE

**Nu există recepție. Tuburile se aprind, ochiul magic se luminează în verde**

a) Rezultă că redresorul debitează tensiunea continuă și este defectă numai parte din receptor. Se verifică lampa finală și prefinală a AF cu ajutorul unui picup sau se atinge borna de picup cu o surubelnită. Se înlocuiește lampa defectă, se înlocuiește piesa defectă.

b) Etajul de amplificare de AF este în stare normală de funcționare. Rezultă că receptorul este

defect de la detectie spre intrare. Se atinge cu o surubelnită sau penseta grila ultimului tub de FI. Dacă se audе o poință sau sforături destul de puternică în receptor atunci detectia și ultimul etaj de FI funcționează normal. Se procedează astfel și cu primul tub FI. Acestea pot fi defecte sau uzate și atunci se schimbă... se verifică etajul defect.

c) În cazul că totul funcționează, se verifică tubul de amestec și oscillator. Se verifică alimentarea acestuia cu tensiune: se comută comutatorul de game. Dacă receptorul funcționează pe alte game de unde, este defect comutatorul. Dacă nu funcționează pe nicio gamă, este defect comutatorul sau întregul etaj. Se verifică circuitul de intrare.



## MASĂ RABATABILĂ

Camuflată în perete (rabatabilă) sau stînd pe picioare fixe, masa pe care v-o prezintă se execută din blaturi de lemn, sau placi aglomerate ranforstate la colțuri, pe care se lipesc tapet înflorat lavabil.

**Avantaje?** Se poate realiza cu minimum de cheltuieli, ocupă puțin loc (se placează aproape de un perete) și conferă o notă de agreabil — vesel și proaspăt — întregii încăperi.

# TEHNİUM pentru TOTI

## NOUTATI COSMONAUTICE

Conf. dr. ing. F. ZĂGĂNESCU

• În cadrul efortului combinat, dintre N.A.S.A. și o serie de țări și organizații spațiale europene, denumit Program POST-APOLLO, un rol de seamă este delimit de Programul SPACELAB. La timpul potrivit, am informat pe cititorii noștri despre pregătirile în vederea construirii acestuia și organizările lansării în următorii ani a unui mare laborator spațial internațional, cu participarea N.A.S.A. și a unor state și organizații europene (E.S.R.O. etc.). Sistem în măsură să informăm că Programul SPACELAB are un cost de 308 milioane de unități convertibile (continuul de aur din dolari, respectiv, 12 dolari sau 0,416 lire sterline) la momentul prezent. După cum se cunoaste, acest laborator spațial, destinat îl deservit de 5-6 specialiști, urmează a fi lansat cu ajutorul navei spațiale pe care N.A.S.A. o vede operațională în 1980. În cazul în care programul navei spațiale ar fi stopat, acordul specific faptul că nu vor fi nici un fel de restituiri, cu condiția ca N.A.S.A. să facă informarea cu cel puțin doi ani înaintea sistării activității la navele noi.

• Studiile vizând satelitul european — destinat cercetării și decelării resurselor terestre, denumit «SARSA-T» — au fost recent terminate. La acest proiect au participat firmele «Thomson-CSF» și «Sudetech» (Franța), «BAC» și «Junting Survey» (Anglia) și «Montebell Laben» (Italia). Pe acest satelit urmează să îl instaleze apărătoare radar, detectoare în benzile «X», «L» etc., antene ghiduri de undă multiplex, antene trisegmentare (2,7 m x 0,8 m) care permit investigarea indiferent de starea vremii etc. La lansare, acest satelit va cișnări cca 1,3 tone, va fi stabilit pe orbită circulară, 567 km în înălțime, 97 de grade inclinație. Lansarea se va face fie cu o rachetă «Thor-Delta», fie cu ajutorul navei spațiale. Satelitul, alimentat pe orbită cu ajutorul bateriilor solare, va avea o viață utilă de doar ani.

• Pe Venus, savanții de la «det Propulsion Laboratory» au descoperit, prin investigații de radar, existența unor crătere, mai bine spus a unor depresiuni circulare, cu dimensiuni de 25-60 de mile în diametru. A fost explorată și suprafața de cinci sute de mii de mile pătrăte, care a apărut destul de plată, denivelările nedepășind 900 m înălțime, iar crăterele având adâncimi de ordinul a 3-400 metri. Savanții sint mirați de faptul că o atmosferă atât de densă ca cea venusană nu a putut proteja suprafața planetei de loviturile meteoritice, de eroziuni în timp etc.

• După ce la 3 decembrie 1973 «Pioneer-10» a survolat cu o viteză de 150 000 km/oră planeta Jupiter, stația s-a îndreptat spre planeta Pluto, prin zona

căreia va trece în anul 1987. Deoarece mersul stației a fost perfect calculat, ajungind în punctul preliminar din apropierea planetei gigante numai cu un minut mai devreme (1), stația «Pioneer-10» a servit pentru efectuarea unei serii de calcule și determinări astromică, care vizează satelitul 10 una din cele 12 «uniuni» ale marii planete Jupiter.

• La data cînd scriem aceste rînduri, N.A.S.A. a prezentat opțiunile specialiștilor sălii pentru cele 18 experimente științifice și de aplicații, care vor fi in-

cluse în programul comun de lucru pe orbită al celor două echipaj, sovietic și american, ce vor deservi stația orbitală spatială SOIUIZ-APOLLO, în 1975, de la 15 iulie. Din aceste experimente, două sunt europene, și anume investigațiile biologice propuse de specialiști vest-germani. Înălță la date respectivă, Academia de științe sovietică nu a anunțat seria de experimente pe care dorește să le realizeze cu ocazia acestui zbor comun.

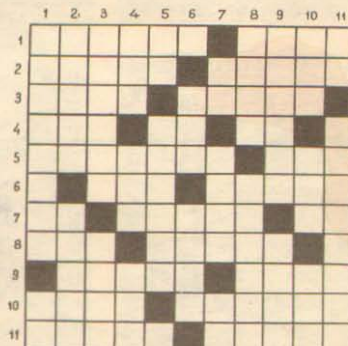


### CUVINTE ÎNCRUCIȘATE

## ANI CELEBRI

**ORIZONTAL:** 1. Célébru fizician francez, în 1820 a descoperit legea interacțiunii curentilor electrici... — Si altul german, născut în 1882, cu multiple contribuții în teoria relativității și structurile atomului. 2. Mijloc de transport cu o singură roată — Electro-technician rus, în 1896 a realizat prima transmisie radioelectrică din lume. 3. Împreună cu Strassman, a pus în evidență fisiuarea uraniului (1939) — Si un compatriot al său, în anul 1887 a descoperit influența razelor ultraviolete asupra descărcărilor electrice. 4. Cureleșu de mesiniș — Note muzicală — La împărt. 5. Ilustru fizician și inventator italian, în 1901 a realizat prima radiocomunicație telegrafică peste Atlantic — Mijloc rudimentar de transport. 6. Inventator și lucru mecanic și de energie în sistemul C.G.S. — Plantați agățătoare din păduri tropicale. 7. Dânașcu Daniel — Element chimic folosit ca adeziv în obturările dentare — Plantații textilă. 8. Unu în Germania — Fizician și chimist francez, în 1898 a descoperit împreună cu soția sa radul și polionul. 9. Fizician indian care în 1928 a descoperit fenomenul difuziei combinate a luminii în lichide — Orăș în Tânările de Jos. 10. Chimist și fizician englez, a inventat în 1812 lampă de siguranță pentru mineri — Ioni cu sarcini negative. 11. Célebrul teatru de operă din Milano, construit în perioada anilor 1776-1778 — Substanță tanantă vegetală cu întrebucinări în industrie.

**VERTICAL:** 1. Vestit matematician și fizician al Greciei antice (287-212 i.e.n.), a stabilit legile pirghilor și unul din principiile fundamentale ale hidrostaticii — Diesel 2. Masină de măcină — Fizician englez, care în 1928 a pus bazele staticii cuantică moderne a fermionilor. 3. Mici vase din sticlă sau metal — Sistem tehnic destinat zborurilor cosmică. 4. Sistemul lui Ben la arabă — Curentul... abreviat — Gen de moluște nordice. 5. Slăvit zeu al lumini în Egiptul antic — Stînlă corectitudinii glanduri. 6. Sculptor român, autorul bustului «Stefan cel Mare» (1955) —



A trăsni. 7. În apele — Stîrneste risul — Notă traducătorului. 8. Diamant impur, folosit ca unelă de tăiere — A. organize o activitate. 9. Ramură a fizicii care se ocupă cu studiul luminii și al fenomenelor ei — Oras antic la Marea Egee. 10. Culcare — 1600, de exemplu, cînd a fost inventată luneta în Olanda (pl.) — La tenis! 11. Nicolau Viorica — Om politic american și de știință, în 1747 a inventat parafrașnoul.

Cuvinte rare: EIN, TIEL, EBN, MYL, BORT, EION.  
GH. TULEA

### DEZLEGAREA JOCULUI «SPIRE TEHNICE» DIN NUMÂRUL TRECUT

1. LETCON; 2. FOCARE; 3. TERMIC; 4. RĂCIRE; 5. GREAT; 6. TABLOU; 7. COLTAN; 8. APARAT; 9. STEN; 10. TIPARE; 11. POLIZA; 12. FILETA; 13. PATENT; 14. NORMAT; 15. MREJĂ; 16. FORJAT; 17. CUPTOR; 18. CROMAT; 19. STANIU; 20. BRU; 21. ABIECT; 22. CIMENT; 23. MODELE; 24. PEDALĂ; 25. STRUNG; 26. BANUȚ; 27. BANANE; 28. NATRU; 29. ROBOT; 30. BOBINA; 31. MANETE; 32. METALE.

# RADIORECEPTORUL

## PHILIPS 22

RL - 166 - OR

Este vorba de un radioreceptor din clasa portabilă, la care alimentarea este asigurată de patru baterii de 1.5 V; poate recepta gama de unde medii (1 605-525 kHz); gama de unde scurte (7.3-3.2 MHz) și încă o gamă de unde scurte (17.9-9.5 MHz).

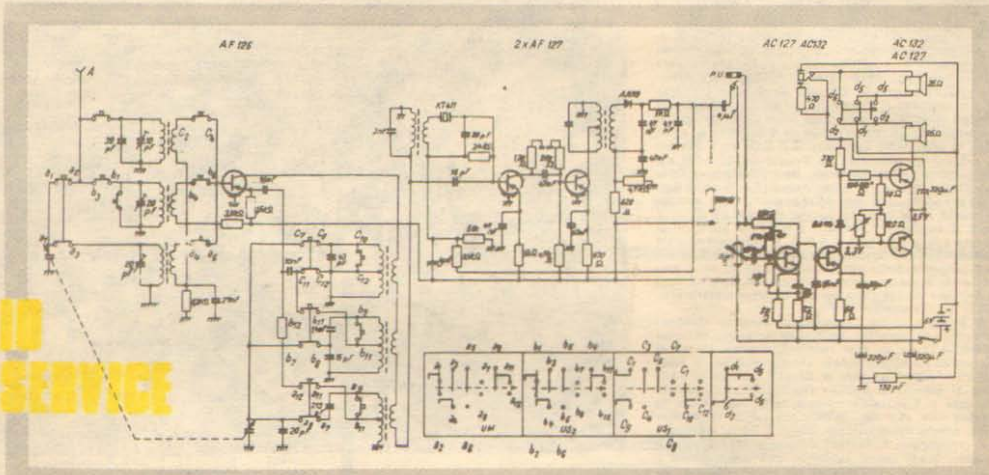
Echipat cu șapte tranzistori, acest radioreceptor superheterodină are semnalul de frecvență intermediară cu valoarea de 453 kHz, la care — pentru mărirea selectivității — are introdus un filtru piezoelectric (KT 411).

La amplificatorul de audiofrecvență se poate cupla un picup sau magnetofon.

Schela electrică de principiu publicată alături contine toate elementele de circuit cu notația tipului și a valorii, absolut necesară pentru depanare.

Consumul de curent electric, fără semnal, este de 16 mA.

Prin publicarea schemei răspundem cerințelor unui mare număr de cititori.



## FILATELIE



„ANIVERSARI - 1973"

În cursul anului 1973, Poșta Română a pus în circulație o emisiune de 4 valori, comemorând figuri prominente ale științei și culturii românești. 10 bani: sculptorul D. Pauciurea; 40 bani: scriitorul Ion Slavici; 55 bani: iluministul și marele dascăl Gheorghe Lazăr; 6,40 lei: compozitorul și dirijorul A. Flechtenmacher. Au mai fost emise două plicuri „prima zi” cu stampilă specială.



La realizarea acestui număr au colaborat: ing. R. COMAN, ing. V. CĂLINESCU, ing. SERGIU FLORICĂ, N. GALAMBOS, ing. I. MIHĂESCU, ing. D. PETROPOL, fiz. M. SCHMOL, ing. I. ZAHARIA.

Prezentarea artistică:

ADRIAN MATEESCU

Prezentarea grafică:

ARCADIE DANIELIU

Cititorii din străinătate pot face abonamente adresindu-se întreprinderii «ROMPRESFILATELIA» — Serviciul import-export presă — București, Calea Griviței nr. 64-66., P.O. Box 2001.

Adresa redacției noastre este:

«Tehnium», București

Piața Scînteii nr. 1, sector 1

Telefon: 17 60 10; interior: 1159

Tiparul executat la  
Combinatul poligrafic  
«Casa Scînteii»